

# Spracovanie obrazu, grafika a multimédiá

2D signal processing

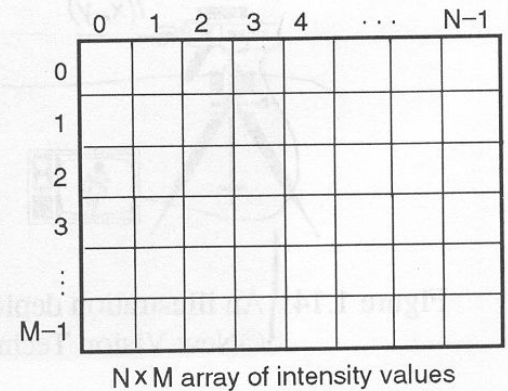
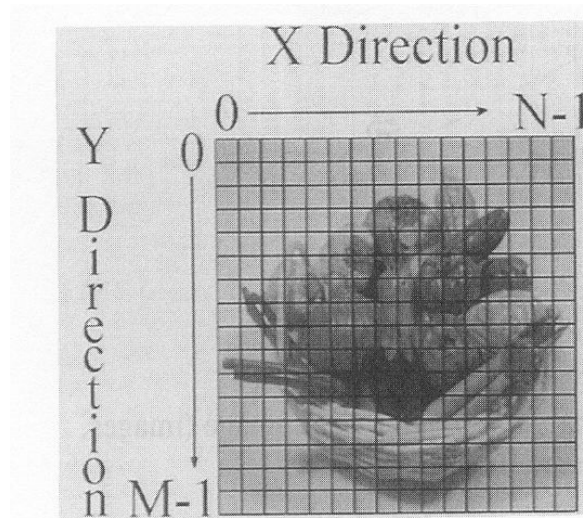
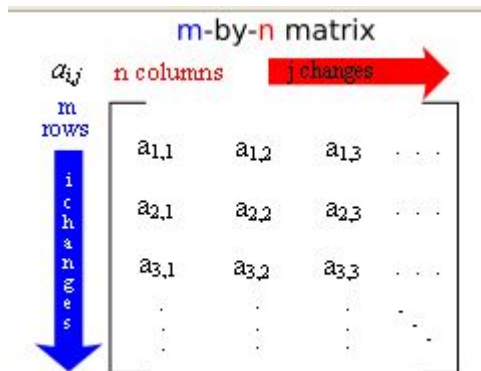
# 2D signal processing

# Matrix Representing of Digital Image ...recap.

The result of sampling and quantization is a matrix of numbers.

=> *matrix operations*

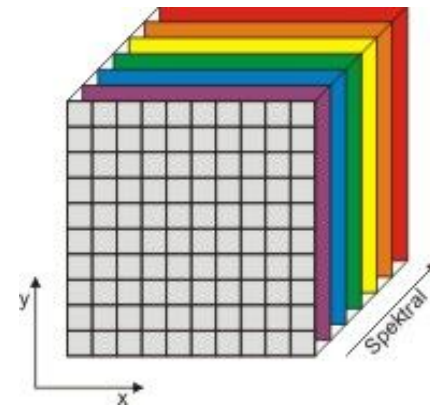
Coordinate convention :



# Dimension of Image Matrix

## ...recap.

- Gray-scale image  $m \times n$
- Colour image  $m \times n \times 3$
- ...
- Multi-spectrale image  $m \times n \times x$



# 2-Dimensional Discrete Fourier Transform DFT

For an image of size MxN pixels

2-D

$$F(u, v) = \frac{1}{MN} \sum_{x=0}^{M-1} \sum_{y=0}^{N-1} f(x, y) e^{-j2\pi(ux/M + vy/N)}$$

u = frequency in x direction,  $u = 0, \dots, M-1$

v = frequency in y direction,  $v = 0, \dots, N-1$

$x = 0, \dots, M-1$

2-D IDFT

$y = 0, \dots, N-1$

$$f(x, y) = \sum_{u=0}^{M-1} \sum_{v=0}^{N-1} F(u, v) e^{j2\pi(ux/M + vy/N)}$$

# Fourierova transformácia - v obore komplexných čísiel

$$j = \sqrt{-1},$$

$F(u)$  je z oboru komplexných čísiel

$$e^{j\theta} = \cos\theta + j \sin\theta$$

$$F(u) = |F(u)| e^{i\varphi(u)}$$

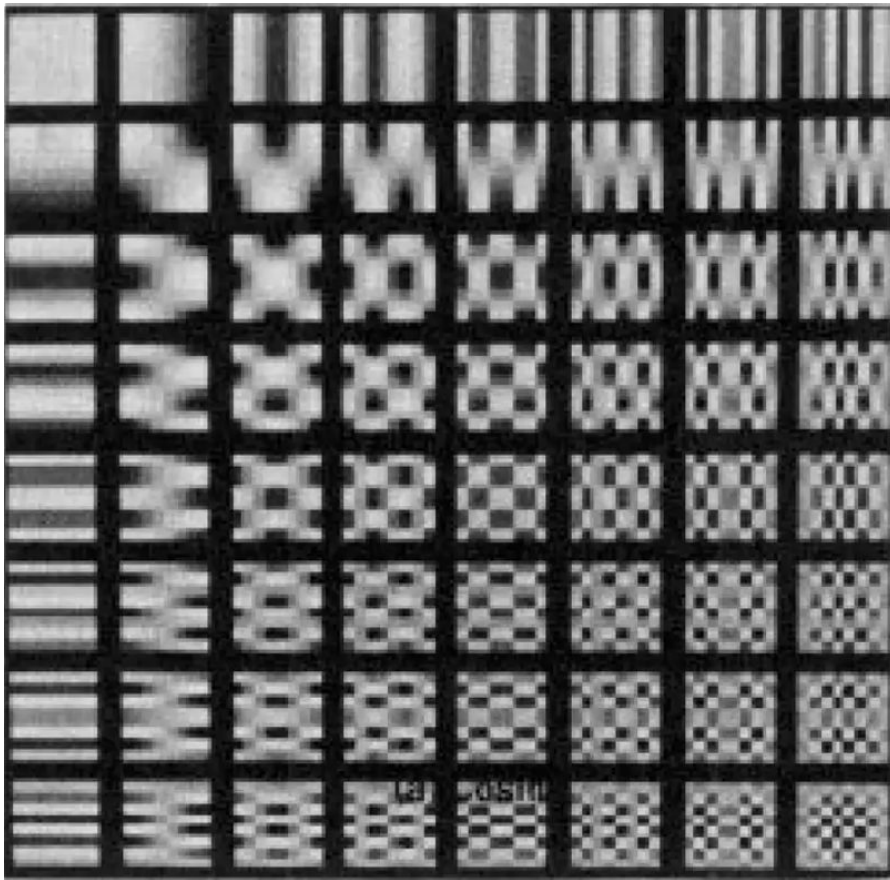
magnitúdové spectrum  
*amplitude spectrum*

$$|F(u)| = [R^2(u) + I^2(u)]^{\frac{1}{2}},$$

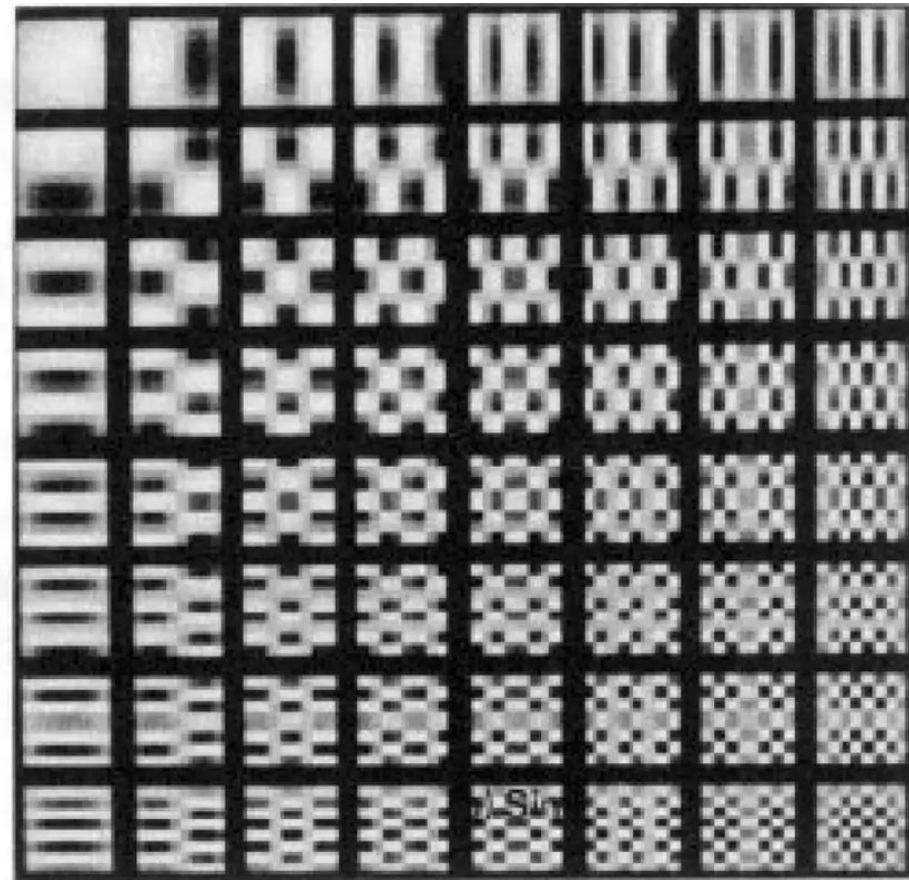
fázové spectrum  
*phase spectrum*

$$\varphi(u) = \arctan \left[ \frac{I(u)}{R(u)} \right]$$

# 2-D DFT base functions visualisation

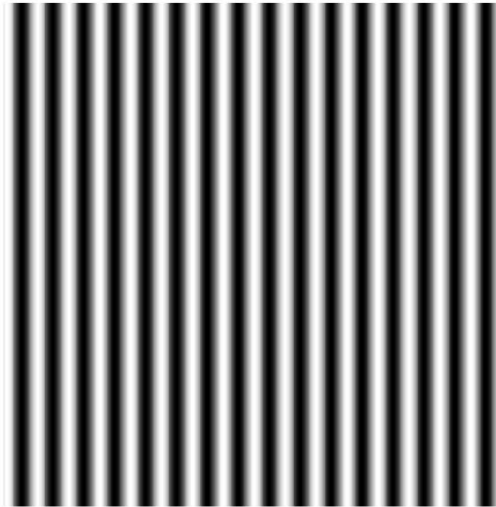


Cosinus

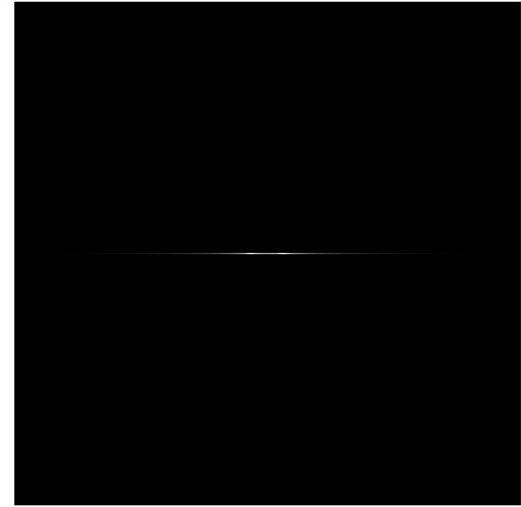


Sinus

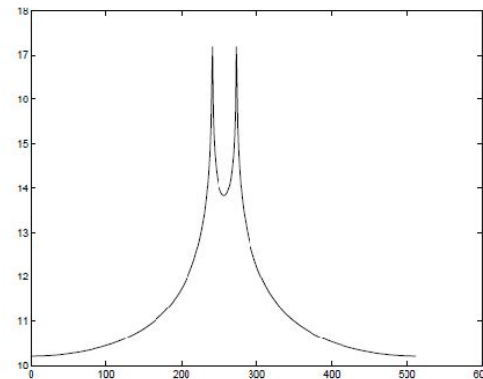
# Example of 2-D DFT



**Obrázok 1.15:** Nízko-frekvenčnou vertikálnou periodickou textúrou.



**Obrázok 1.16:** Magnitúdové spektrum v logaritmickú škále.



**Obrázok 1.17:** Rez magnitúdovým spektrom v logaritmickú škále.

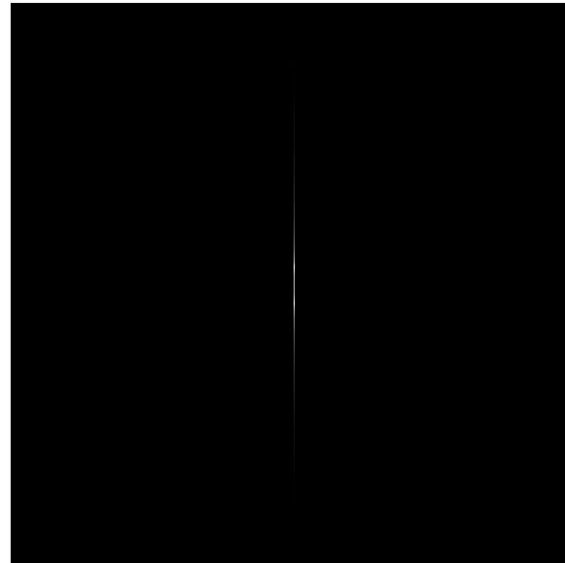


# Example of 2-D DFT

scale.

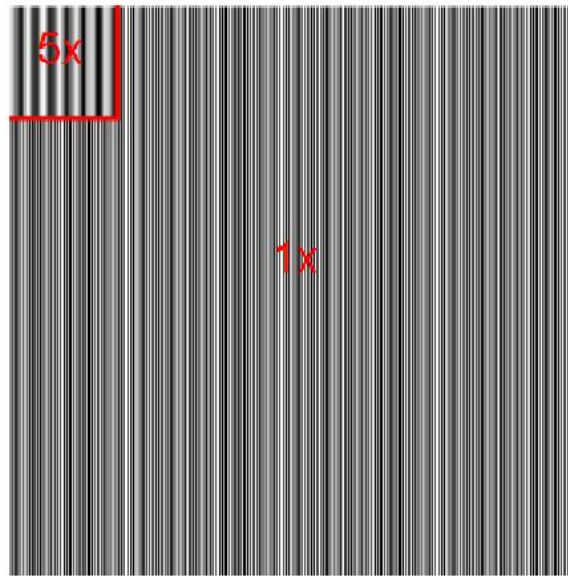


**Obrázok 1.18:** Obraz s nízko-frekvenčnou horizontálnou periodickou textúrou.

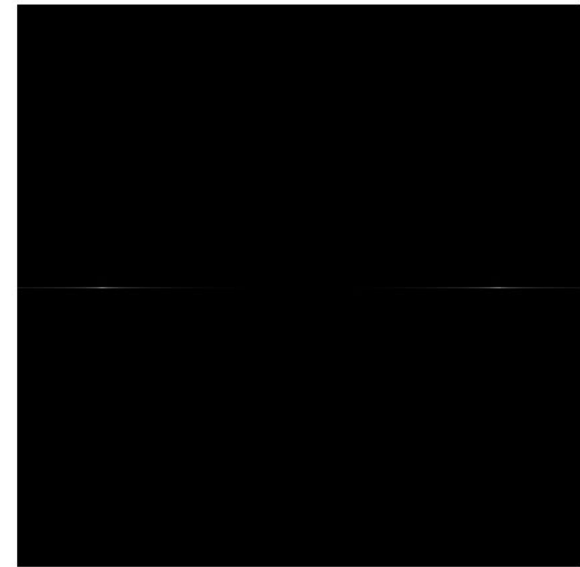


**Obrázok 1.19:** Magnitúdové spektrum v logaritmickej škále.

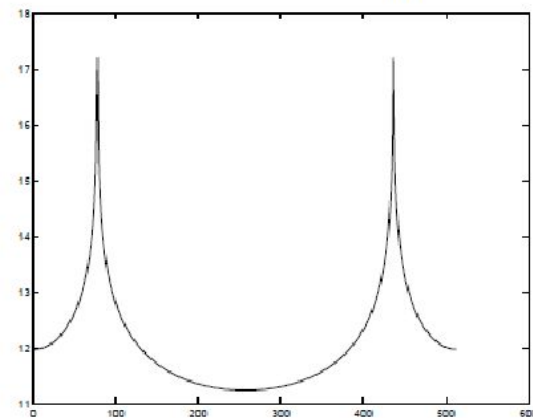
# Example of 2-D DFT



**Obrázok 1.20:** Príklad vysoko-frekvenčnej vertikálnej periodickej textúry so zväčšeným detailom.

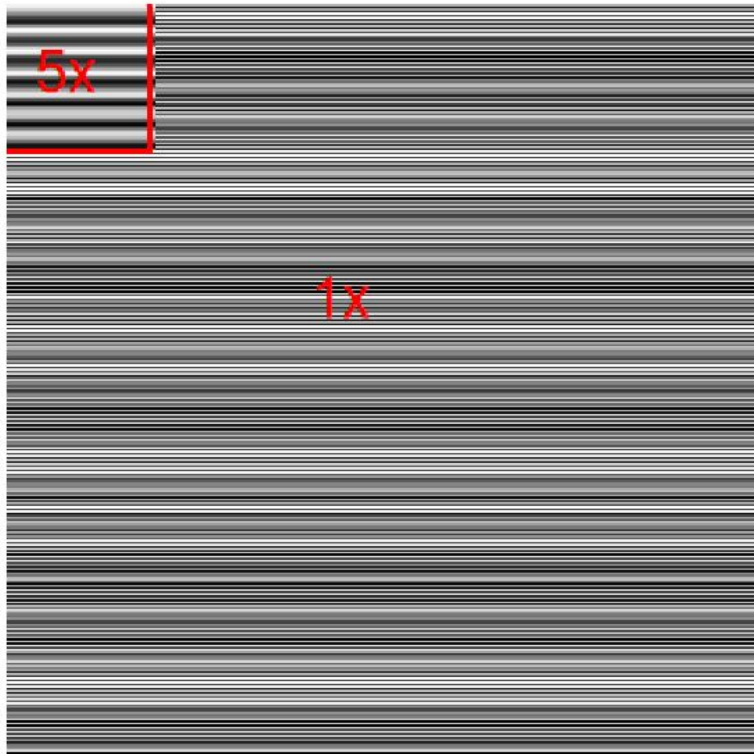


**Obrázok 1.21:** Magnitúdové spektrum vysokofrekvenčnej vertikálnej periodickej textúry v logaritmickú škále.

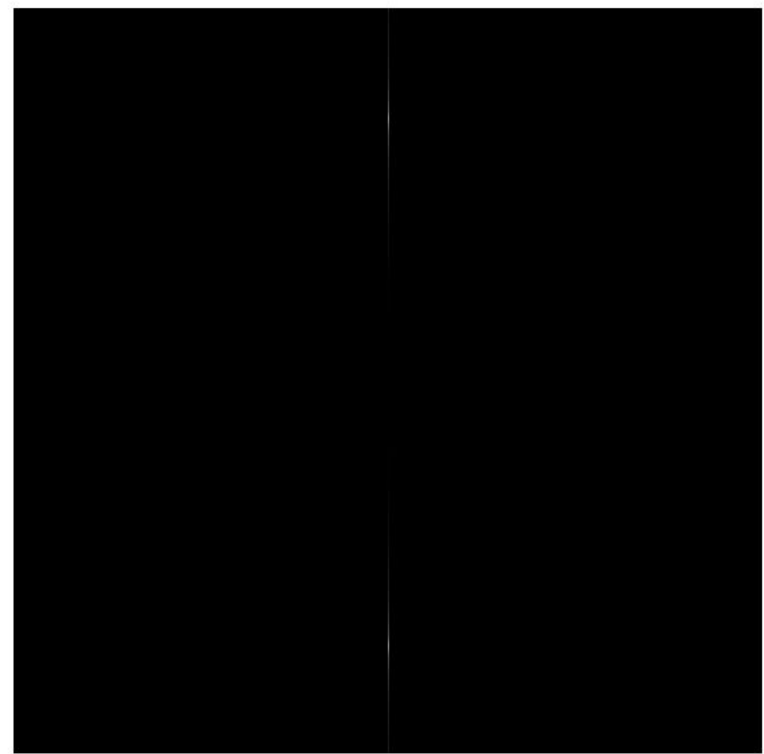


**Obrázok 1.22:** Rez magnitúdovým spektrom v logaritmickú škále.

# Example of 2-D DFT

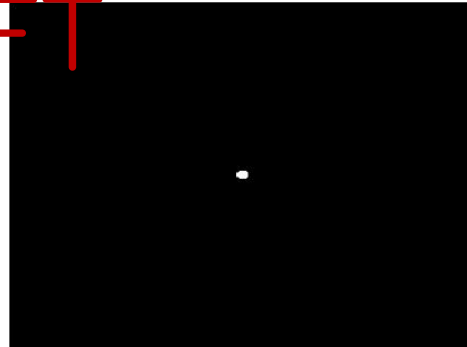


**Obrázok 1.23:** Príklad vysokofrekvenčnej horizontálnej periodickej textúry so zväčšeným detailom.

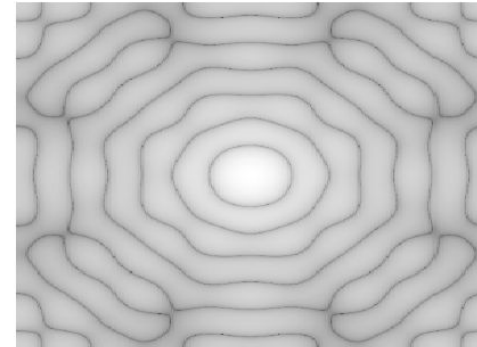


**Obrázok 1.24:** Magnitúdové spektrum vysokofrekvenčnej horizontálnej periodickej textúry v logaritmickej škále.

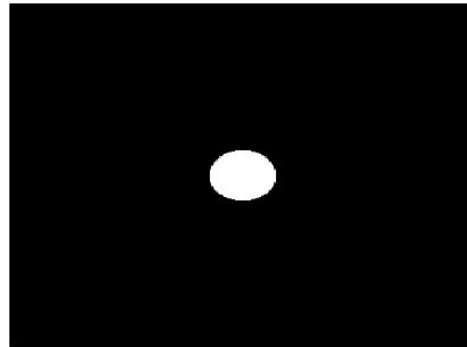
# Example of 2-D DFT



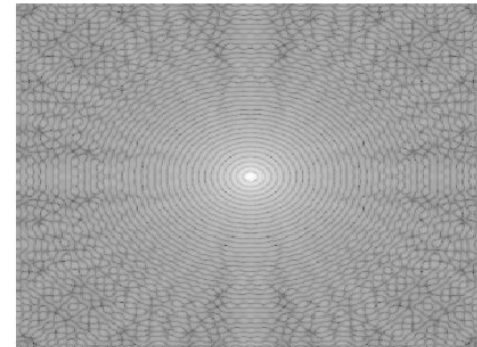
**Obrázok 1.25:** Obraz s kruhovým objektom s priemerom 15 pixelov.



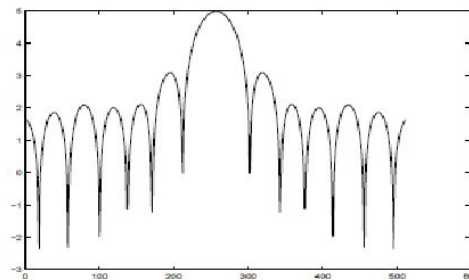
**Obrázok 1.26:** Magnitúdové spektrum v logaritmickej škále.



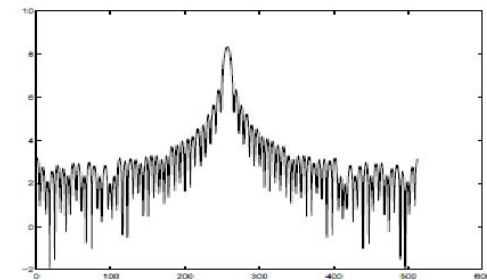
**Obrázok 1.27:** Obraz s kruhovým objektom s priemerom 75 pixelov.



**Obrázok 1.28:** Magnitúdové spektrum v logaritmickej škále.



**Obrázok 1.29:** Rez magnitúdovým spektrom z obr. 1.26 v logaritmickej škále.



**Obrázok 1.30:** Rez magnitúdovým spektrom z obr. 1.28 v logaritmickej škále.

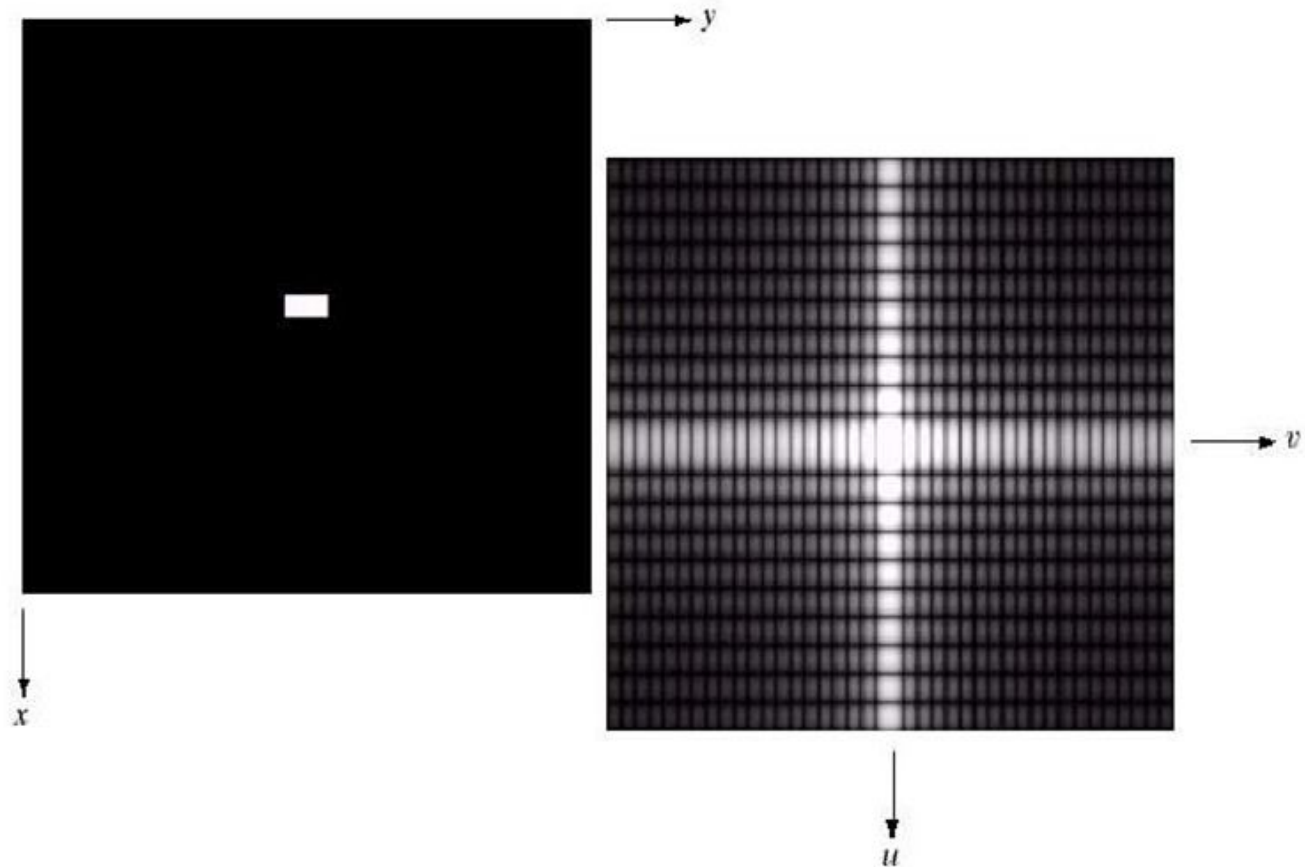
# Example of 2-D DFT

a b

**FIGURE 4.3**

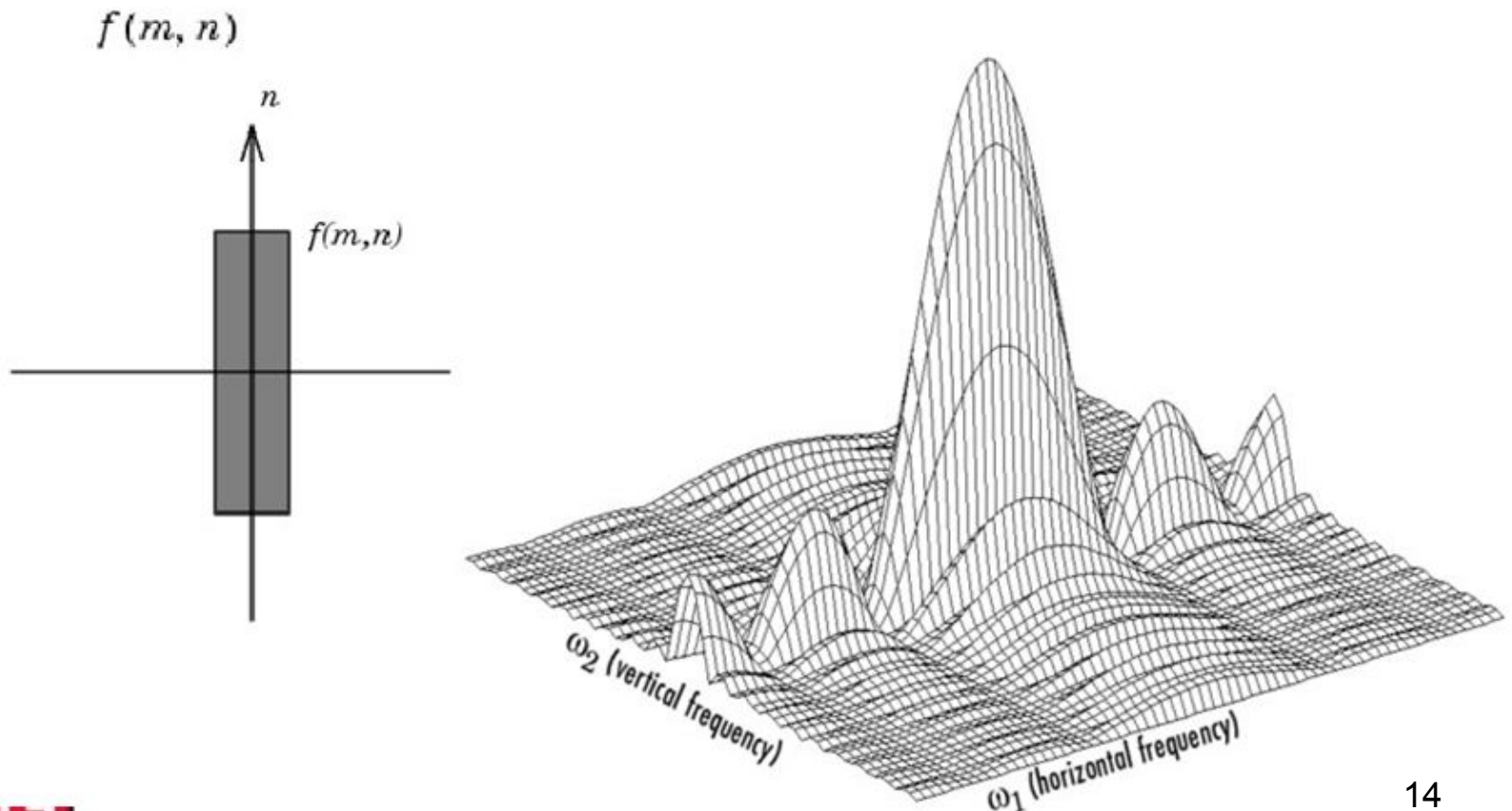
(a) Image of a  $20 \times 40$  white rectangle on a black background of size  $512 \times 512$  pixels.

(b) Centered Fourier spectrum shown after application of the log transformation given in Eq. (3.2-2). Compare with Fig. 4.2.



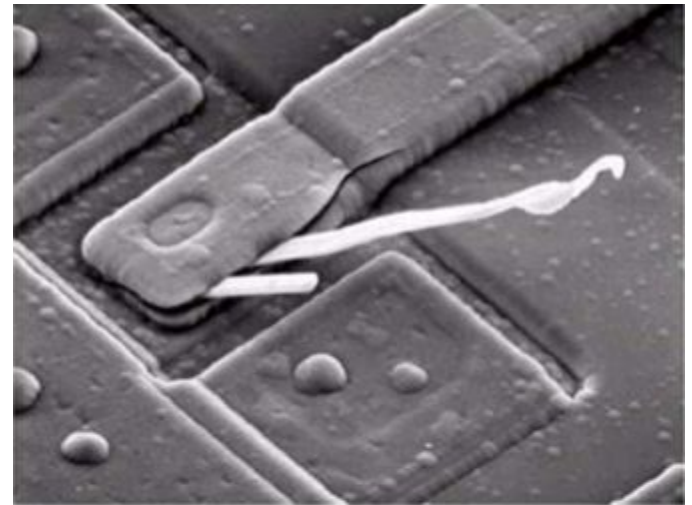
# Example of 2-D DFT: Rectangular Function

**Rectangular function  $f(m,n)$  and corresponding amplitude spectrum**

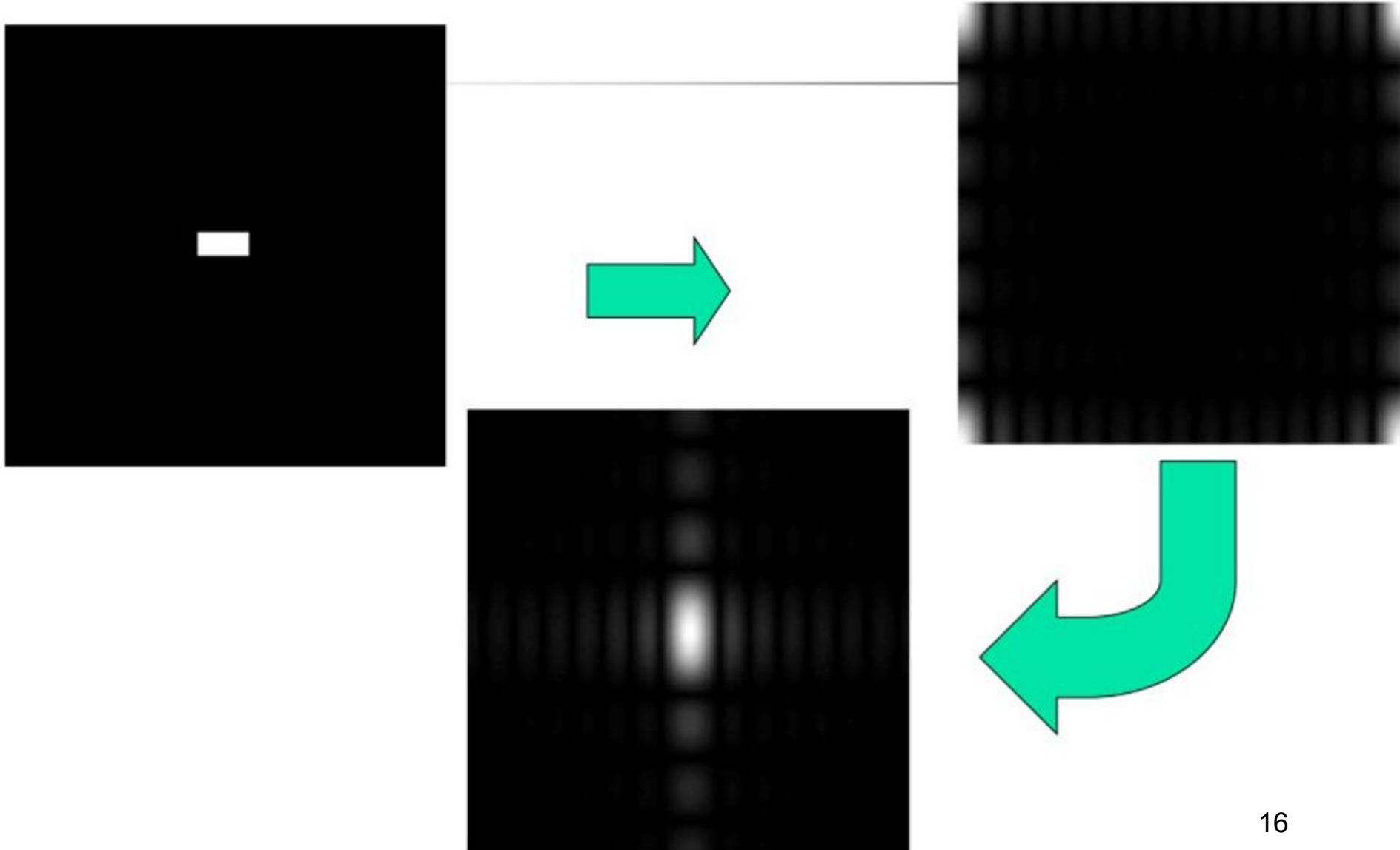


# Example of 2-D DFT

Notice that direction of an object in spatial image and his Fourier transform are orthogonal to each other

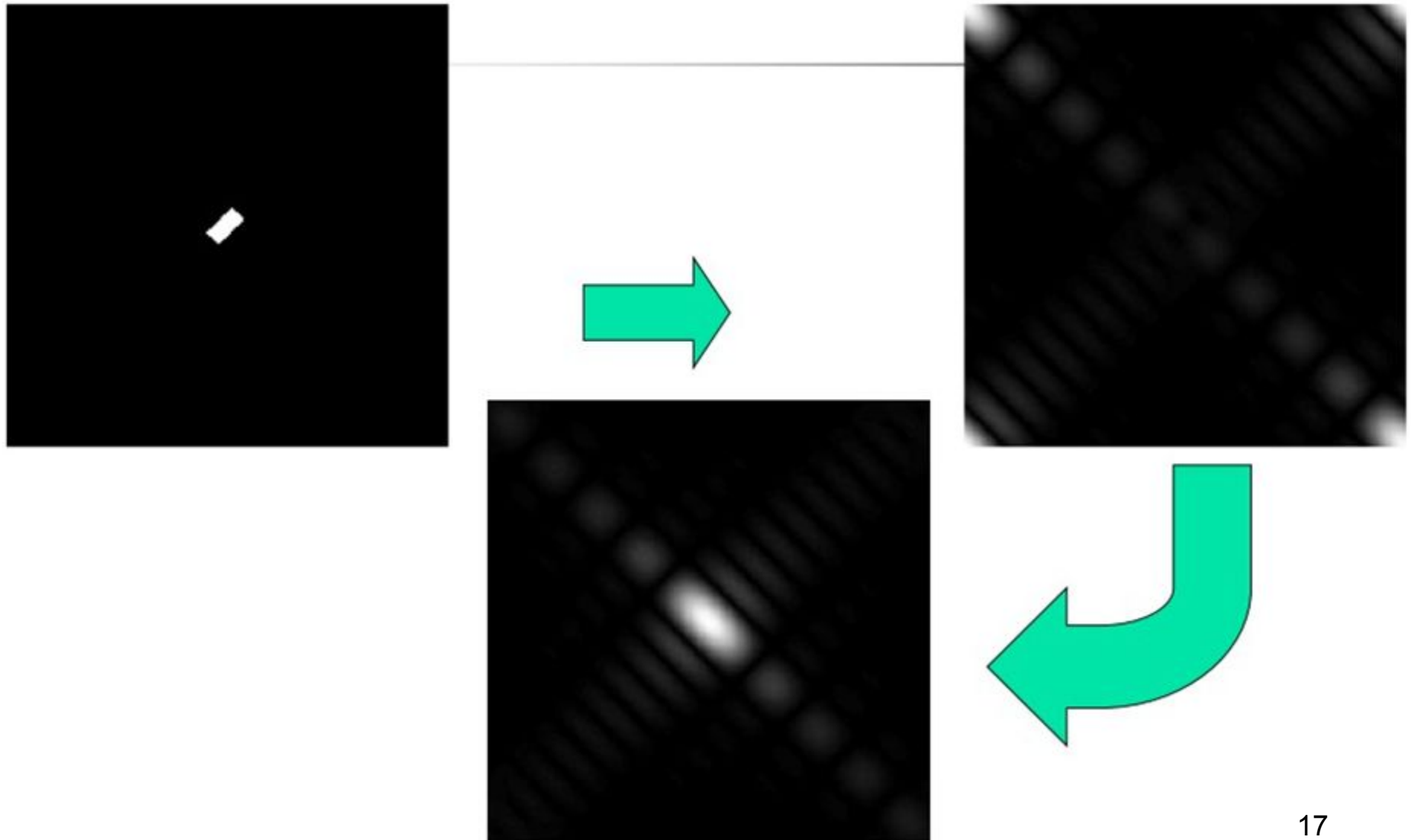


# Example of 2-D DFT

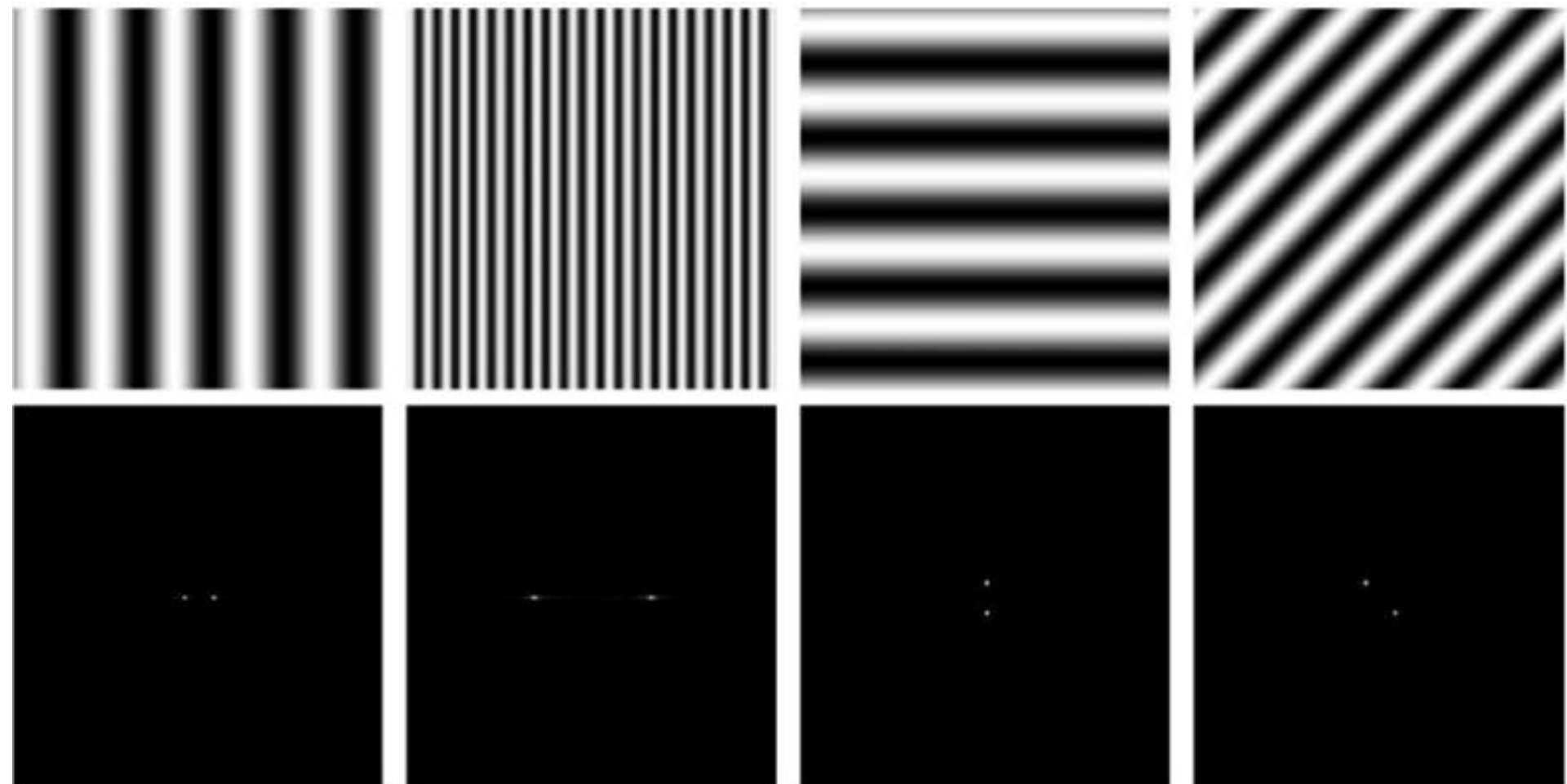




# Example of 2-D DFT



# Examples of 2-D DFT pairs



# 2-D signal filtration

## Image filtration

# Signal filtration

1. in time domain  
-> direct modifying of signal samples
2. in frequency domain  
-> modifying the Fourier transform of an image

# Filtration in the frequency domain

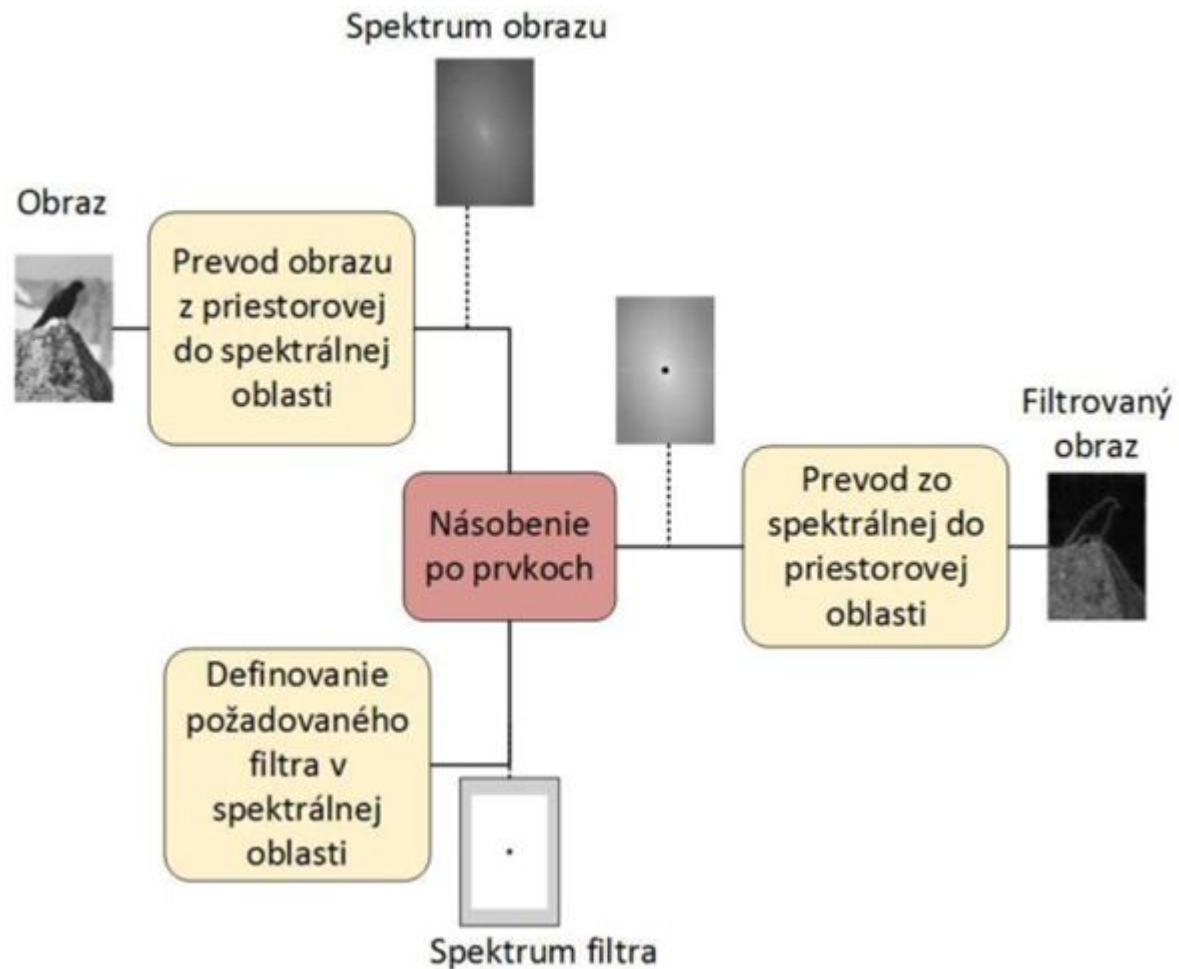
# Why filter in the frequency domain?

Often faster than in the spatial domain

Sometimes much easier to construct a good filter (e.g. periodic noise)

Some experts (Gonzalez and Woods) find it more intuitive than convolution in the spatial domain

# Filtrácia obrazu vo frekvenčnej oblasti



# Filtrácia obrazu vo frekvenčnej oblasti

Základná operácia filtrácie vo frekvenčnej oblasti je operácia

**násobenia** - v prípade filtrácie obrazu násobíme dve matice po prvkoch.

Prvá matica je spektrum vstupného obrazu, ktoré získame výpočtom dvojdimenzionálnej diskkrétnej Fourierovej transformácie zo vstupného obrazu.

Druhá matica je spektrum filtra, ktorý chceme pre filtráciu použiť.

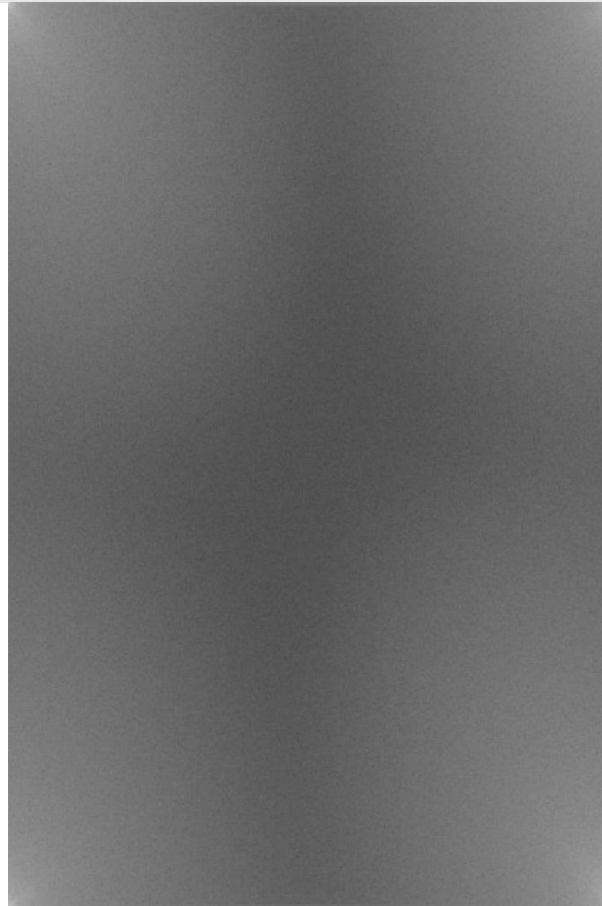
Spektrum požadovaného filtra môžeme navrhnuť priamo vo frekvenčnej oblasti alebo si ho môžeme odvodiť z filtra daného v priestorovej oblasti.



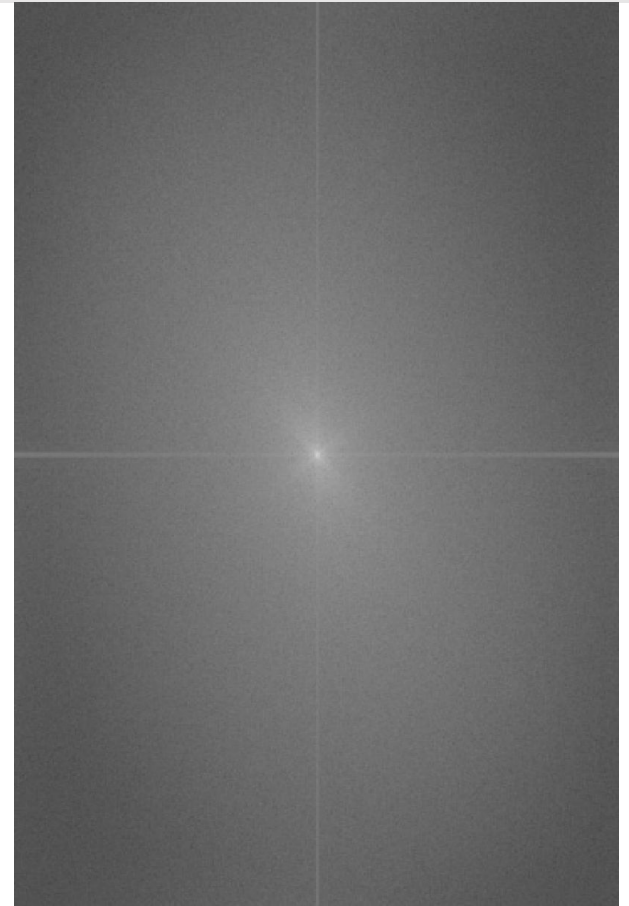
# Image spectrum



Šedotónový obraz –  
vták na skale.



Magnitúdové spektrum  
(log škálované).



Posunuté magnit.  
spektrum (log škálované).

# 2D LP filter

# Filter typu dolná priepust'

## LP filter

Ak chceme odstrániť drobné detaily zobrazujú ako napr.  
textúra na skale, tak odfiltrujeme vyššie frekvencie.

Tým získame vyhladený a rozmazaný obraz bez jemných detailov.

Na odfiltrovanie vysokých frekvencií a zachovanie nízkych frekvencií je vhodný filter, ktorý nazývame dolná priepust' (lowpass - LP filter).

# Filter LP

## Ideálny filter.

možnosť veľmi selektívnej filtrácie bez prechodových oblastí

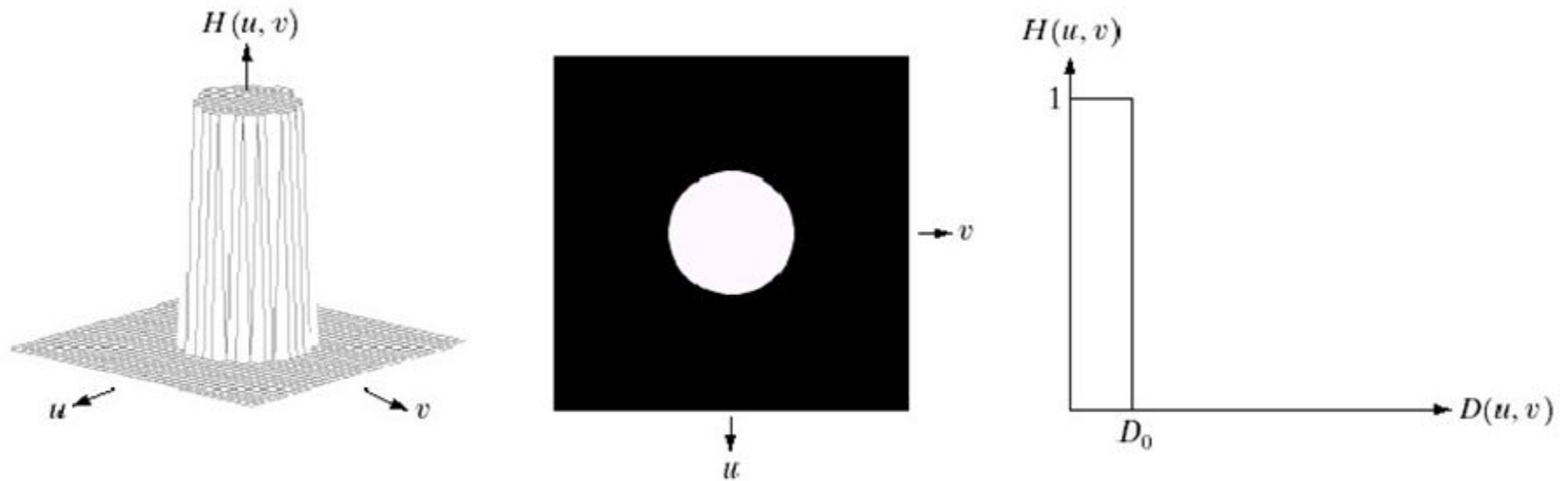
Problém: Spôsobuje efekt rozvlnenia (v anglickej literatúre označovaný ako „ringing efekt“)

## Gaussov filter.

Na rozdiel od ideálneho filtra, Gaussov filter má plynulý prechod medzi priepustnou a nepriepustnou časťou spektra, pričom hodnoty filtra sú dané dvojrozmernou Gaussovou funkciou.

# Filter Design

## Ideal Low-pass filter



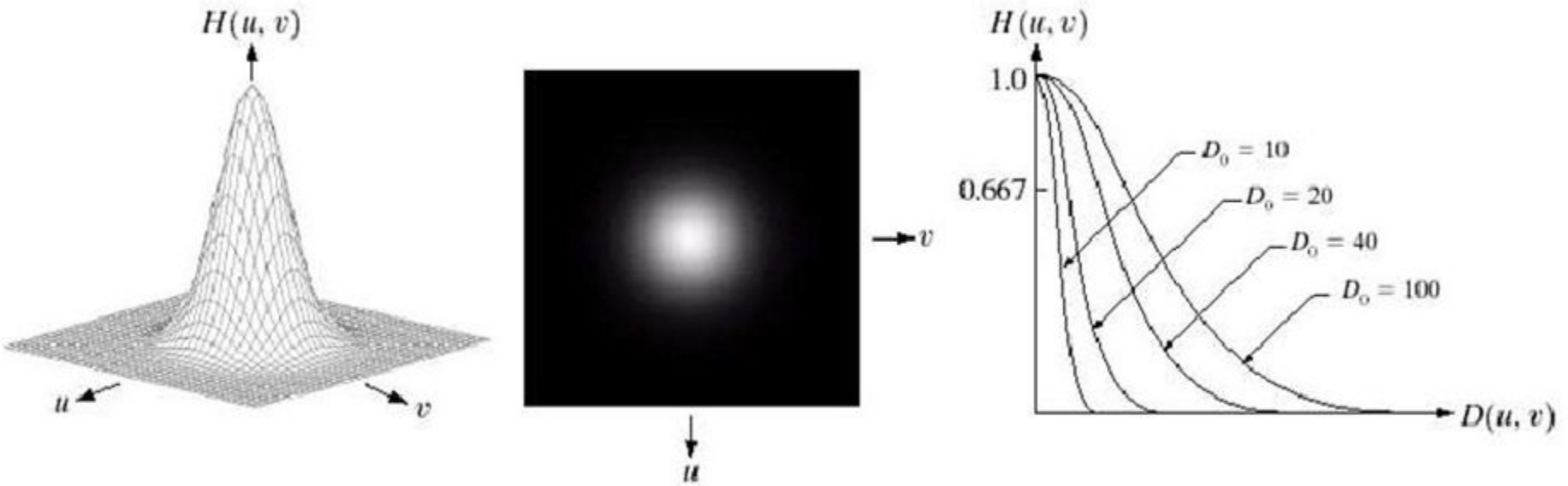
a b c

**FIGURE 4.10** (a) Perspective plot of an ideal lowpass filter transfer function. (b) Filter displayed as an image. (c) Filter radial cross section.

# Filter Design

## Gaussian low-pass filter

Where  $D_0$  = spread factor.



(Images from Rafael C. Gonzalez and Richard E. Wood, Digital Image Processing, 2nd Edition.

a b c

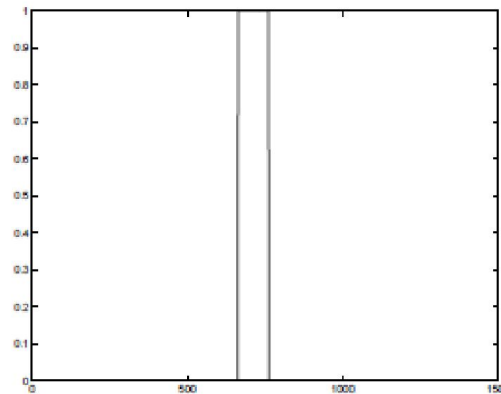
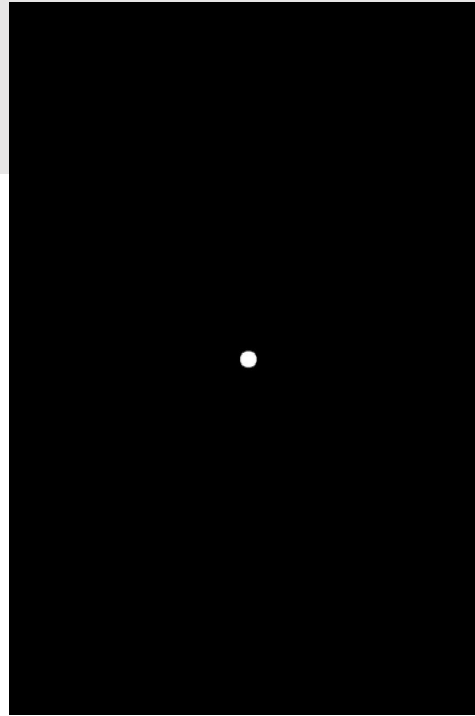
**FIGURE 4.17** (a) Perspective plot of a GLPF transfer function. (b) Filter displayed as an image. (c) Filter radial cross sections for various values of  $D_0$ .

Note: the Gaussian filter is filter that has no ripple and hence no Gibbs phenomena (ringing effect).

# 2D Filter LP

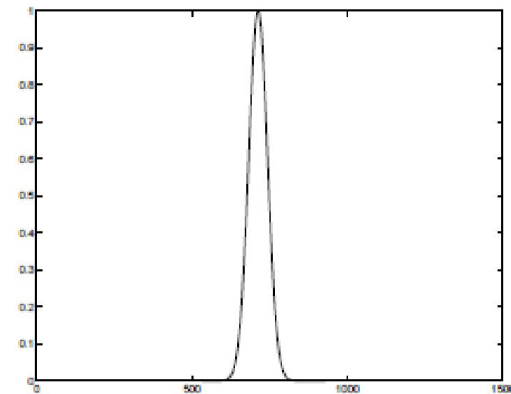
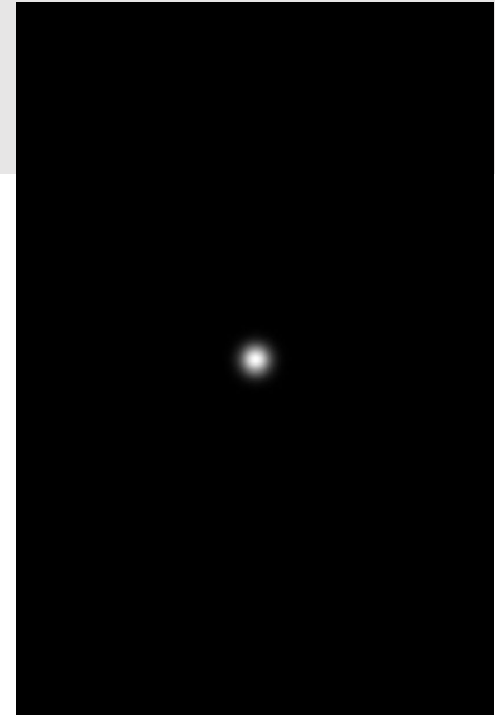
- ideálny LP filter
- Gaussov LP filter

Ideálny LP filter vo  
frekvenčnej oblasti.



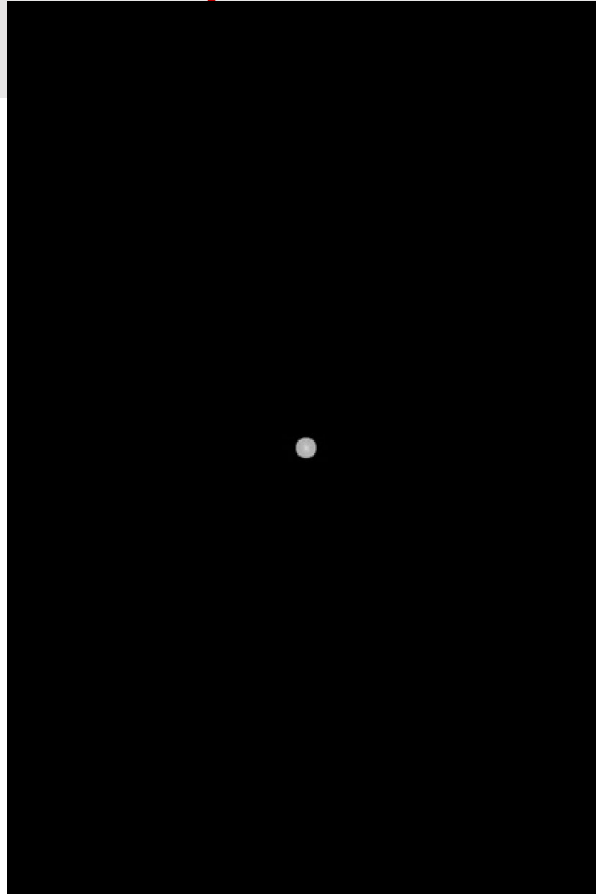
Rez ideálnym LP filtrom.

Gaussov LP filter vo  
frekvenčnej oblasti.



Rez Gaussovým LP filtrom.

# Filtrácia ideálnym LP filtrom



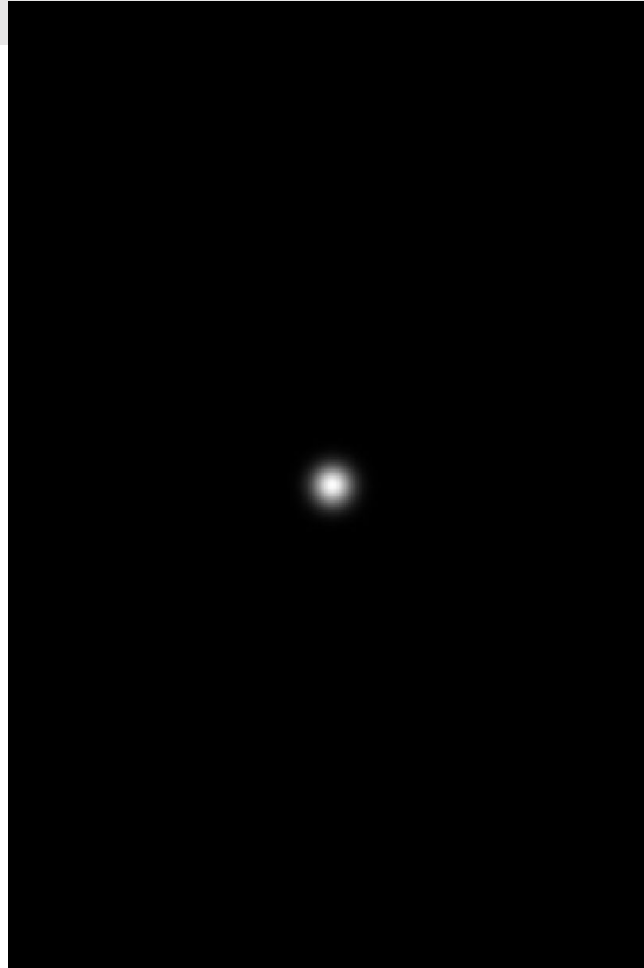
Spektrum  
filtrované  
ideálnym LP  
filtrom.



Obraz po filtrácii  
ideálnym LP filtrom..



# Filtrácia Gaussovým LP filtrom



Spektrum filtrované  
Gaussovým LP filtrom.



Obraz po filtrácii  
Gaussovým LP filtrom..

# Filtrácia ideálnym LP filtrom vs. Filtrácia Gaussovým LP filtrom

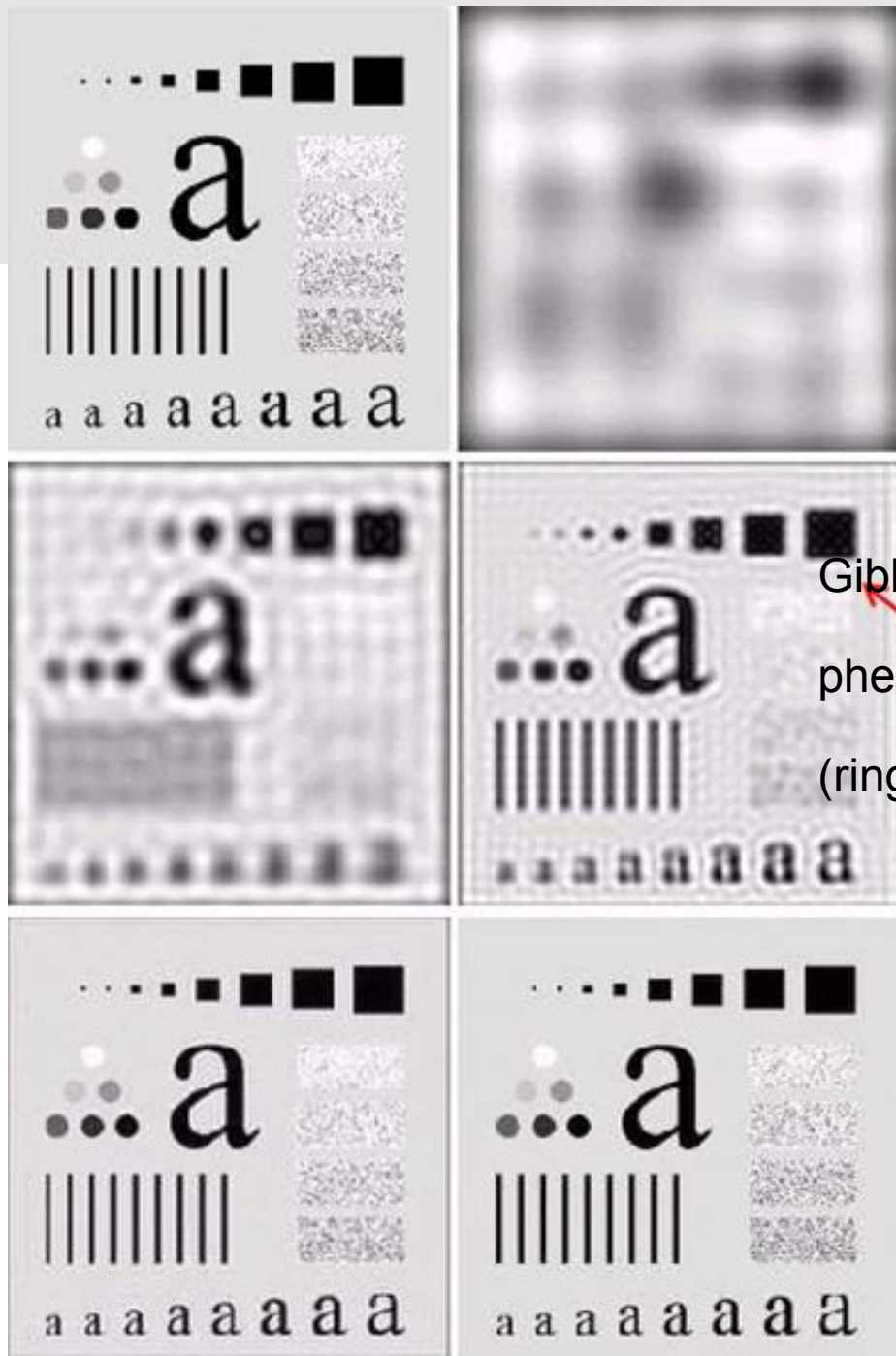
Filtrovaný obraz ideálnym filtrom je podľa očakávania rozmazaný, detaily textúr na skale boli odfiltrované.

Je tiež viditeľný silne rušivý efekt rozvlnenia (Gippsov jav).

Obraz filtrovaný Gaussovým LP filtrom je tiež rozmazaný ako sme predpokladali, nadôvažok nie je na ňom viditeľný žiaden rušivý efekt spôsobený Gippsovým javom.

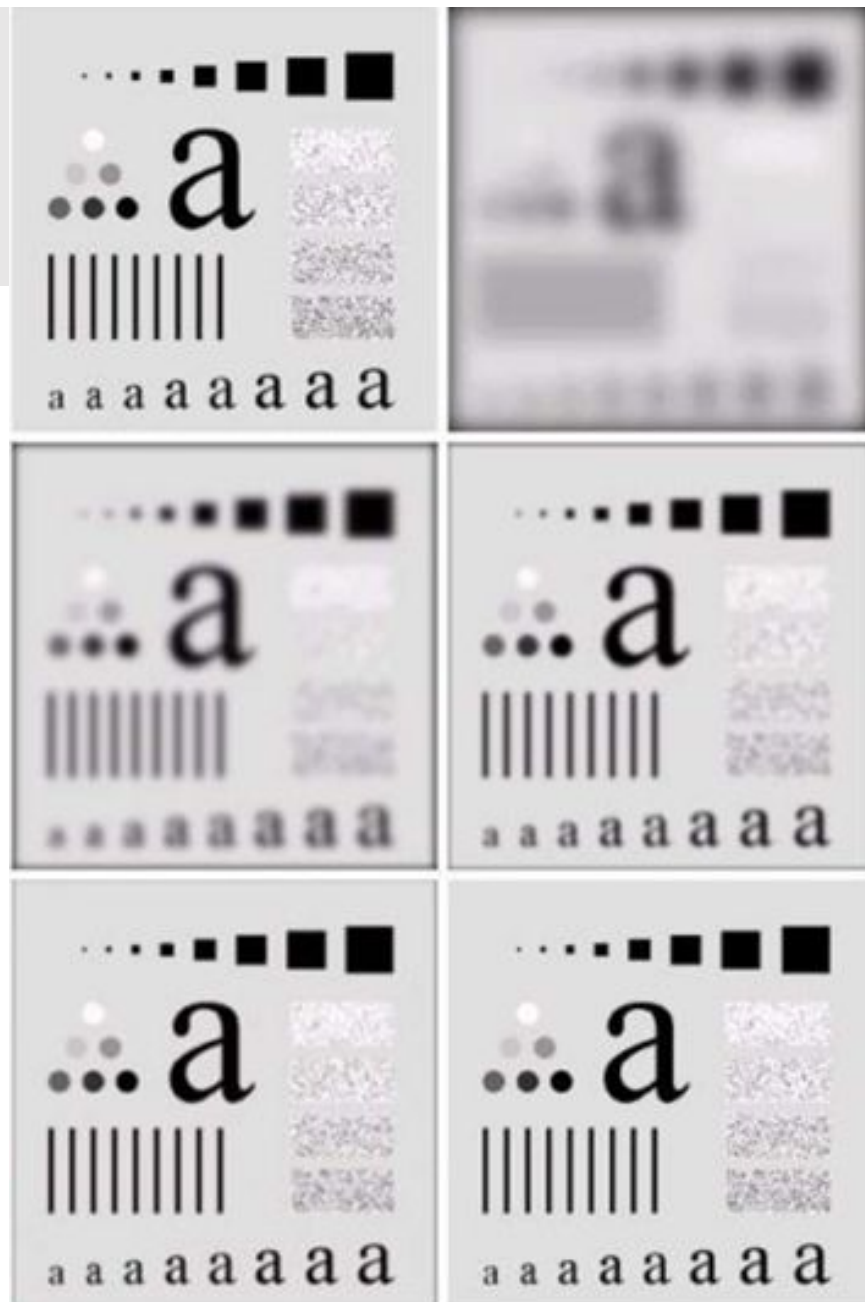
# Ideal LP filter

Cutoff frequencies:  
5, 15, 30, 80, 230



# Gauss LP filter

Cutoff frequencies:  
5, 15, 30, 80, 230

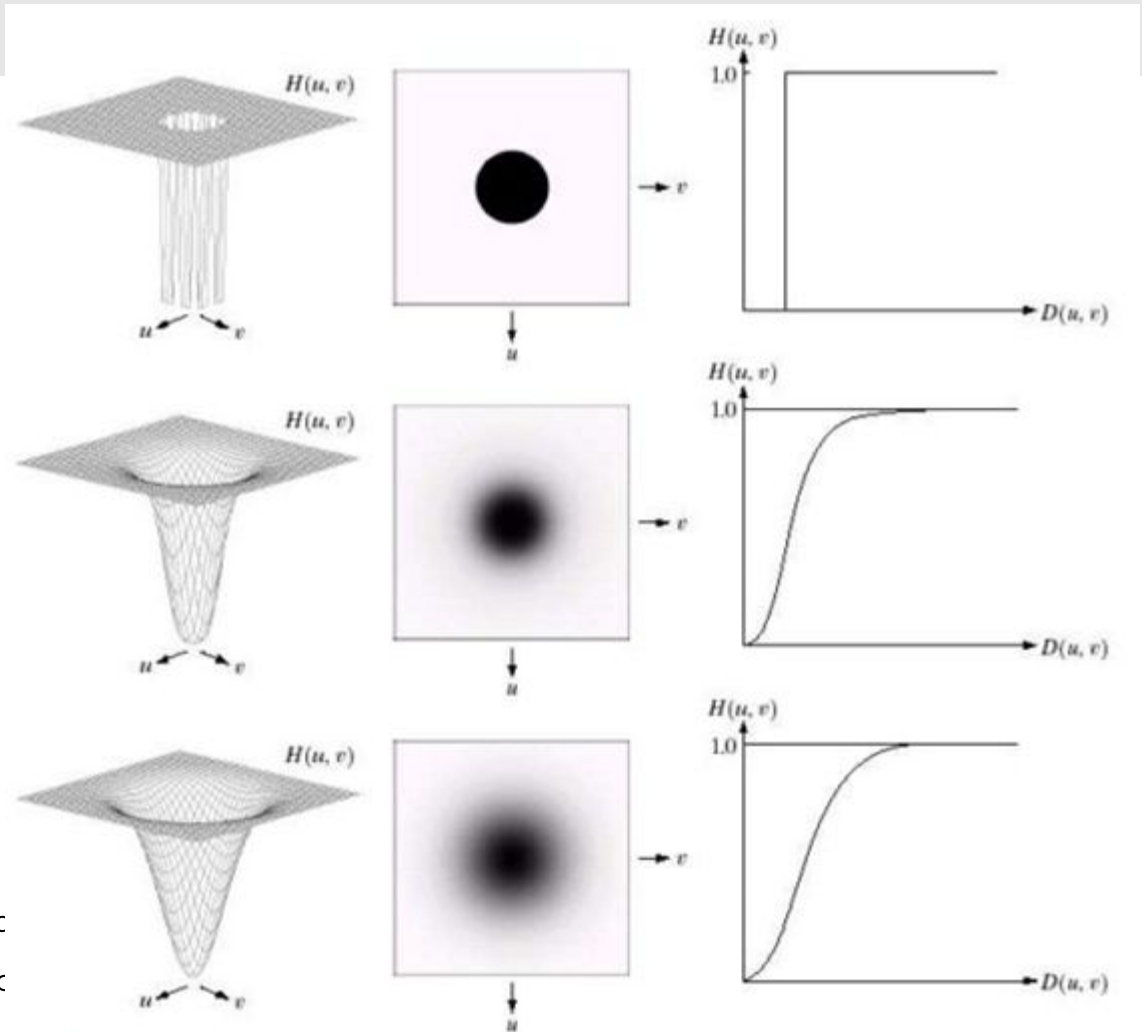


**FIGURE 4.18** (a) Original image. (b)–(f) Results of filtering with Gaussian lowpass filters with cutoff frequencies set at radii values of 5, 15, 30, 80, and 230, as shown in Fig. 4.11(b). Compare with Figs. 4.12 and 4.15.

a b  
c d  
e f

2D HP filter

# High-pass filters



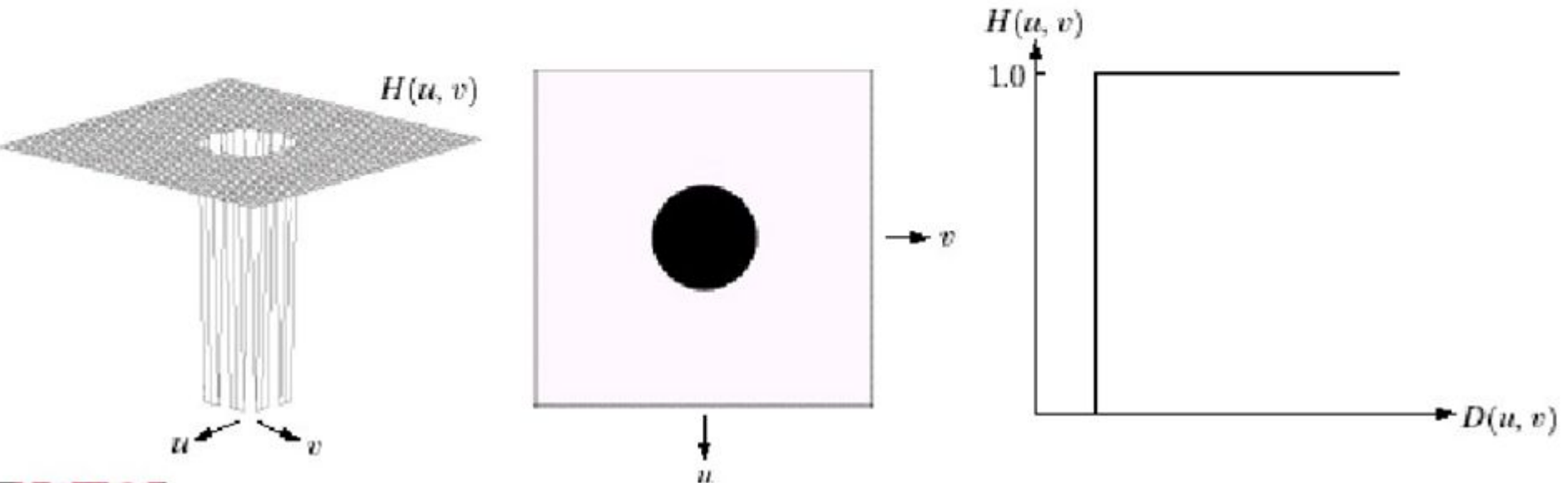
(Images from Rafael C. Gonzalez and Richard  
Wood, Digital Image Processing, 2nd Edition)

a b c  
d e f  
g h i

**FIGURE 4.22** Top row: Perspective plot, image representation, and cross section of a typical ideal highpass filter. Middle and bottom rows: The same sequence for typical Butterworth and Gaussian highpass filters.

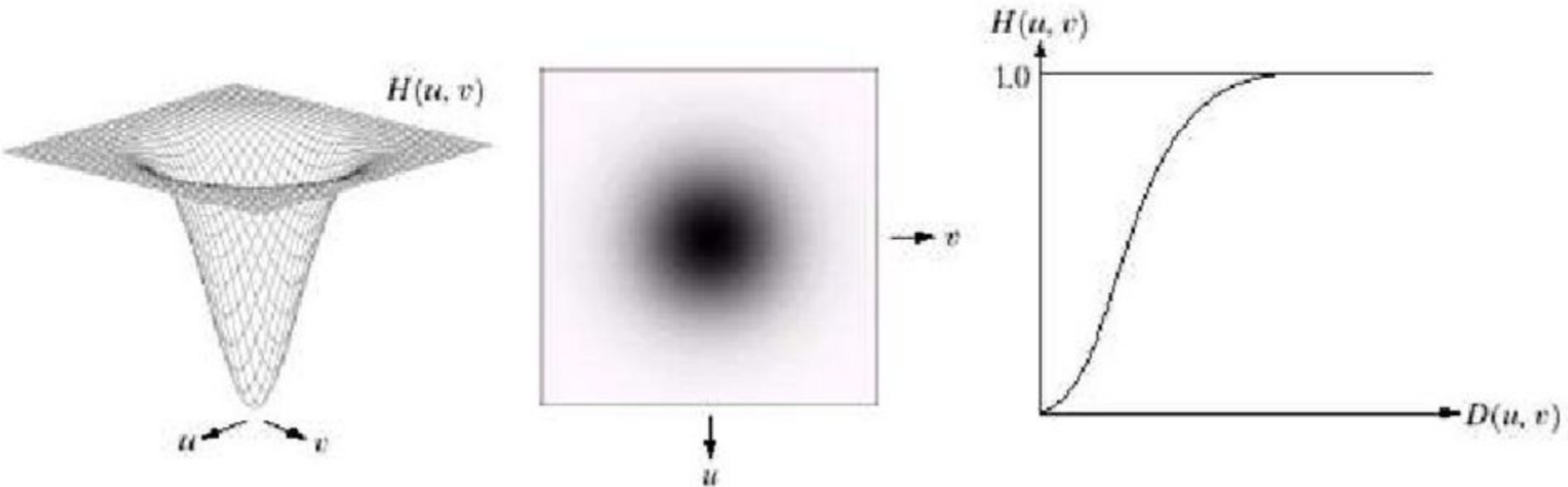
# Ideal high-pass filters

Ideal LPF Filter Transfer function



# Gaussian high-pass filters

## Transfer function - Gaussian





# Hornopriepustná filtrácia HP

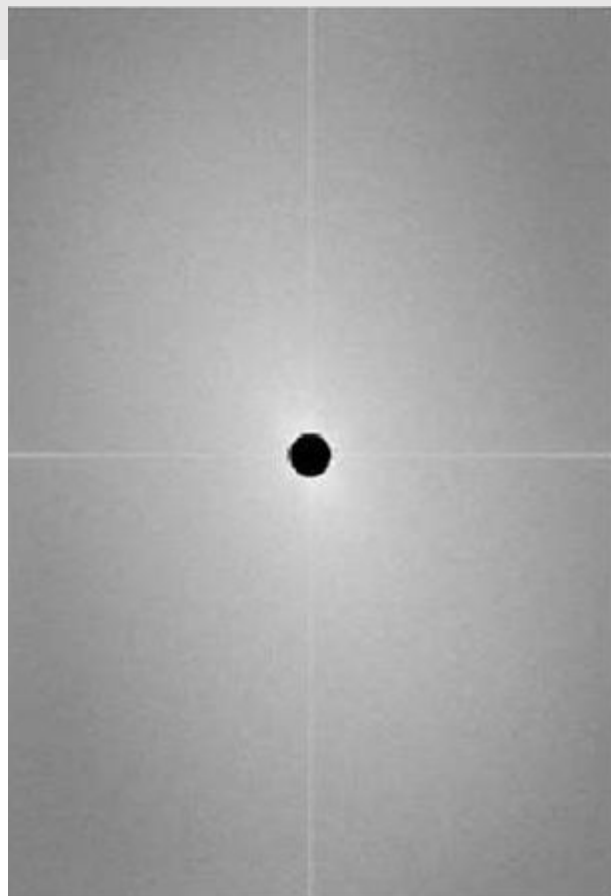


**Obrázok 1.44:** Ideálny HP filter vo frekvenčnej oblasti.

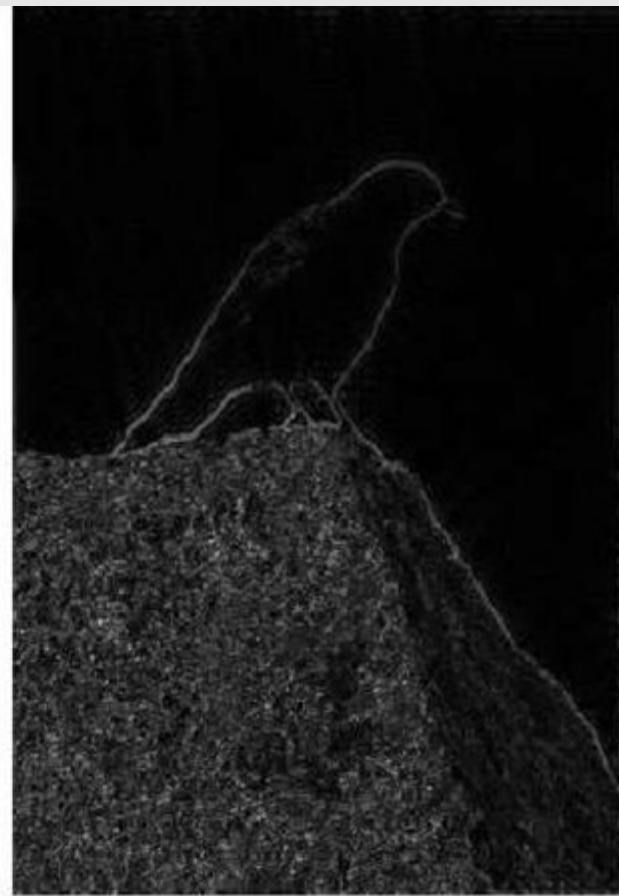


**Obrázok 1.45:** Gaussov HP filter vo frekvenčnej oblasti.

# Hornopriepustná filtrácia HP



**Obrázok 1.46:**  
Spektrum filtrované  
ideálnym HP filtrom.

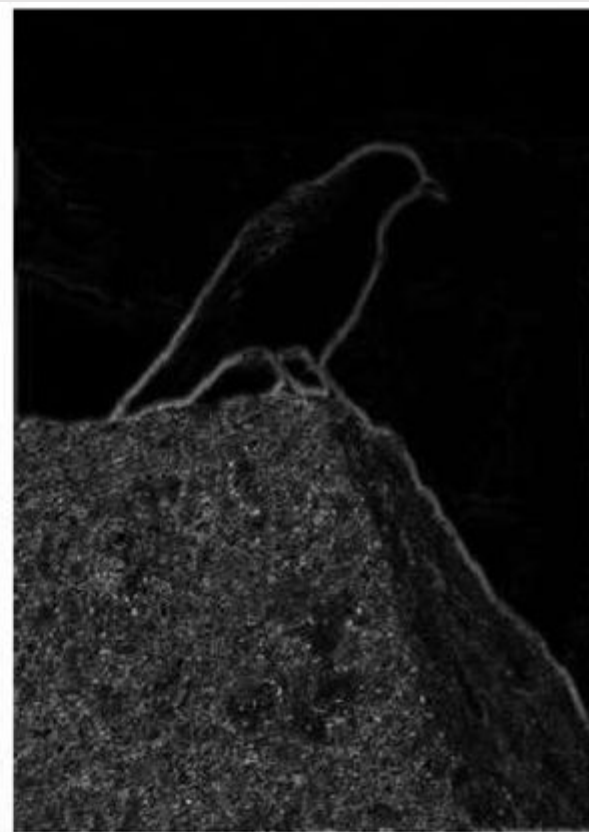


**Obrázok 1.47:** Obráz  
po filtrácii ideálnym  
HP filtrom.

# Hornopriepustná filtrácia HP

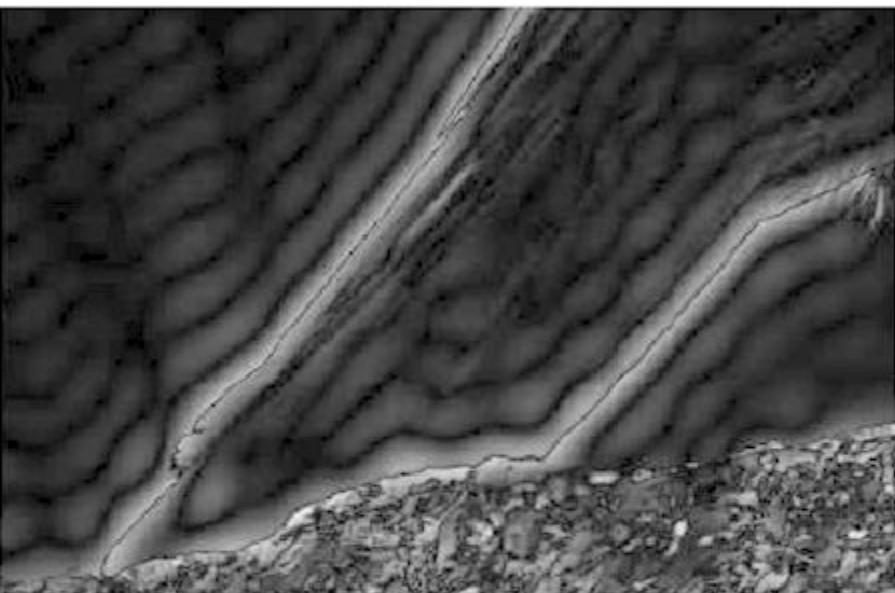


**Obrázok 1.48:**  
Spektrum filtrované  
Gaussovým HP filtrom.

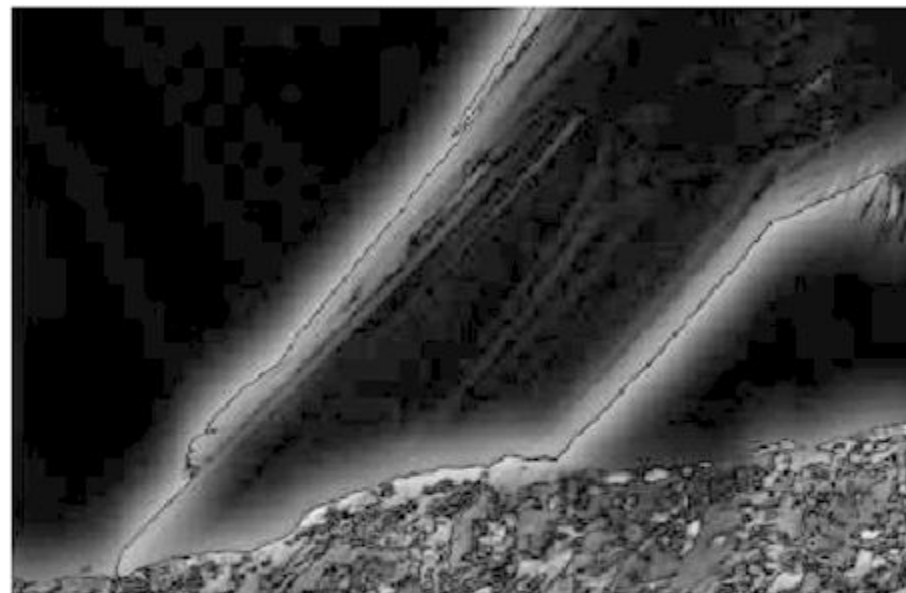


**Obrázok 1.49:** Obráz  
po filtrácii Gaussovým  
HP filtrom.

# Hornopriepustná filtrácia HP



**Obrázok 1.50:** Detail z obr. 1.47.



**Obrázok 1.51:** Detail z obr. 1.49.

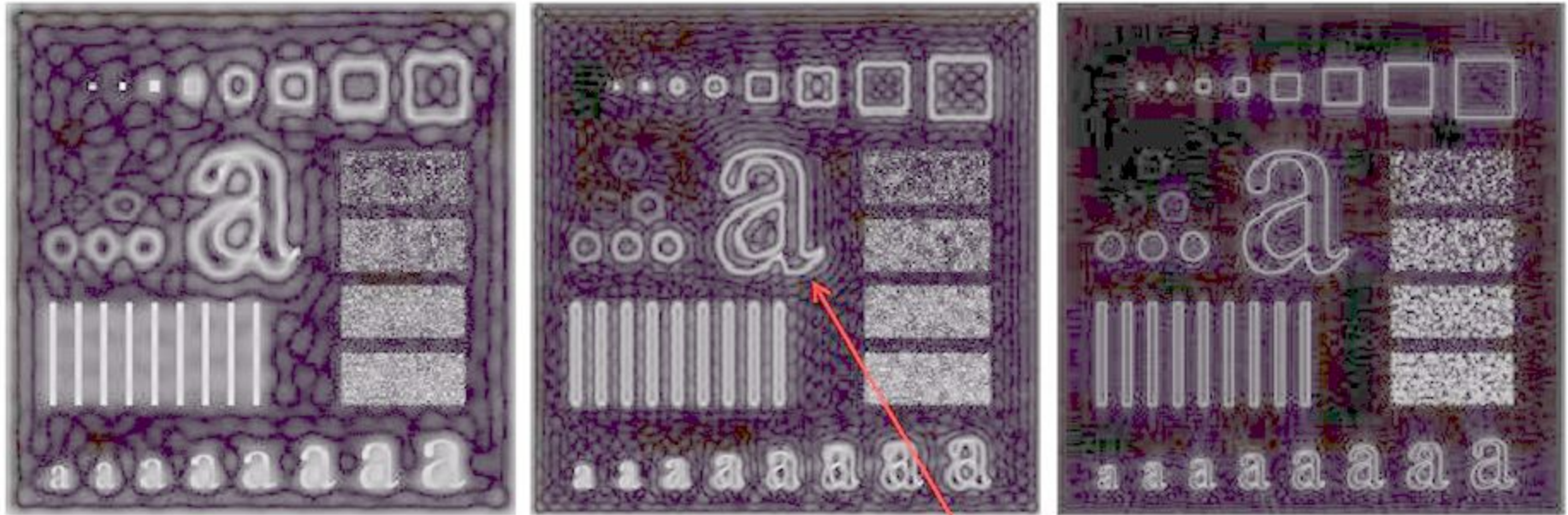
# Hornopriepustná filtrácia HP

Obraz, ktorý sme získali po filtrácii hornopriepustným filtrom obsahuje iba vysokofrekvenčné zložky obrazu, je zreteľne vidieť textúra na skale a kontúry vtáka. (Výsledný obraz je zobrazený v absolútnej hodnote pre lepšiu vizualizáciu výsledného hranového obrazu.)

Opäť pozorujeme rušivý efekt rozvlnenia v obraz filtrovaný

ideálnym filtrom na rozdiel od Gaussovho, kde nevidíme žiaden rušivý efekt.

# Example of Ideal High-pass filtering



a b c

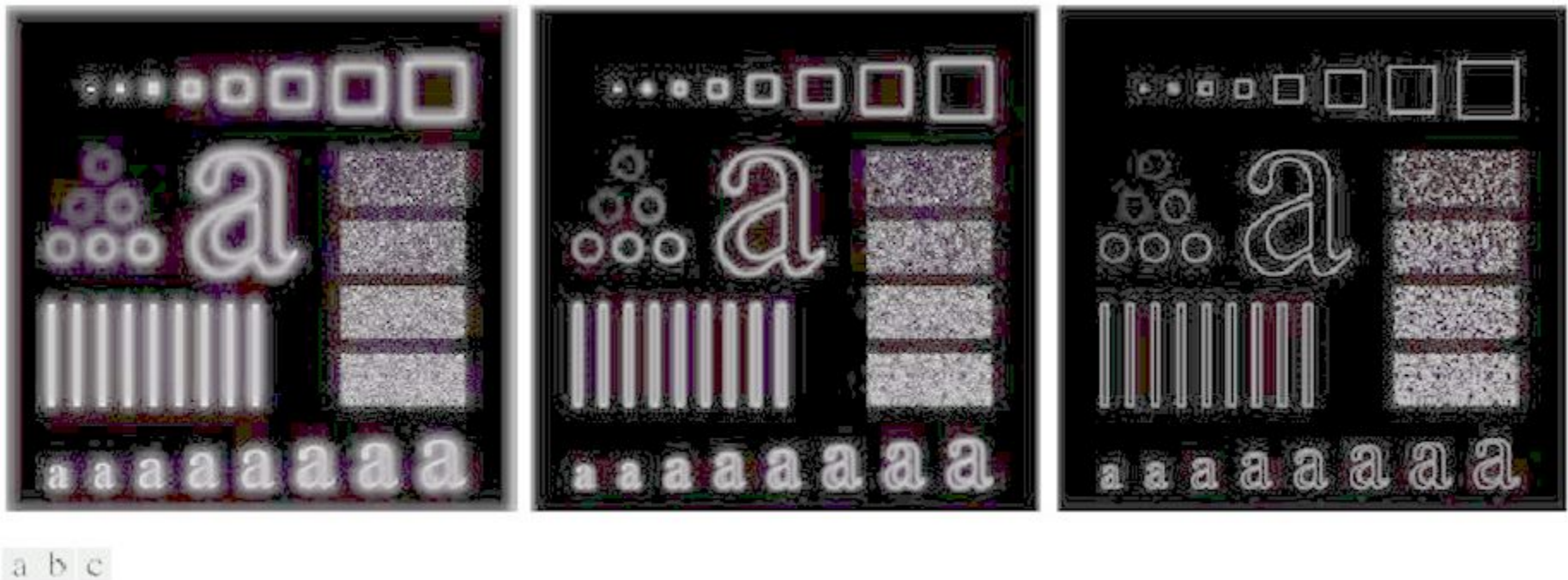
**FIGURE 4.24** Results of ideal highpass filtering the image in Fig. 4.11(a) with  $D_0 = 15$ , 30, and 80, respectively. Problems with ringing are quite evident in (a) and (b).

Gibbs phenomenon

(Ringing effect)



# Results of Gaussian high-pass filtering



**FIGURE 4.26** Results of highpass filtering the image of Fig. 4.11(a) using a GHPF of order 2 with  $D_0 = 15$ , 30, and 80, respectively. Compare with Figs. 4.24 and 4.25.

# Selective frequency filtration



# Filtrácia vybratých frekvenčných oblastí

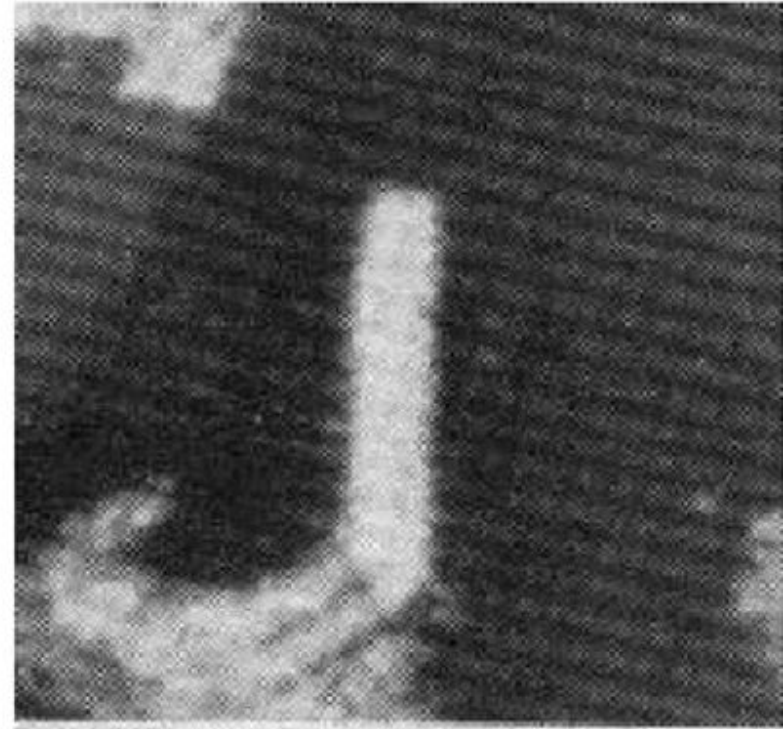
Filtrácia vo frekvenčnej oblasti sa nám ponúka ako výborný nástroj pre selektívnu filtráciu.

Pokiaľ vieme v spektre lokalizovať príspevok toho signálu, ktorý chceme odstrániť, tak ho môžeme odfiltrovať v spektre.

# Filtrácia vybratých frekvenčných oblastí

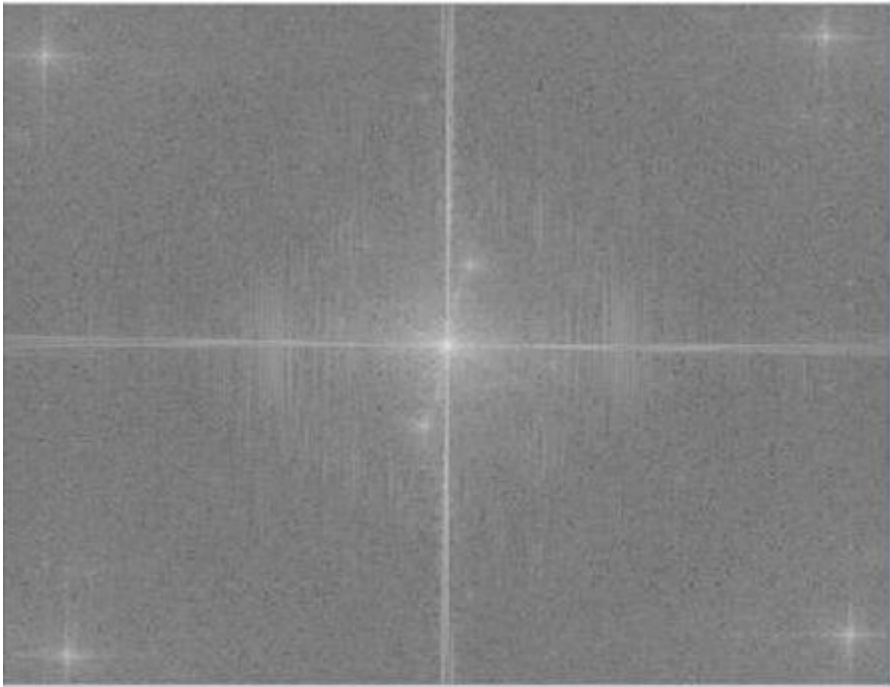


**Obrázok 1.52:** Vstupný obraz.

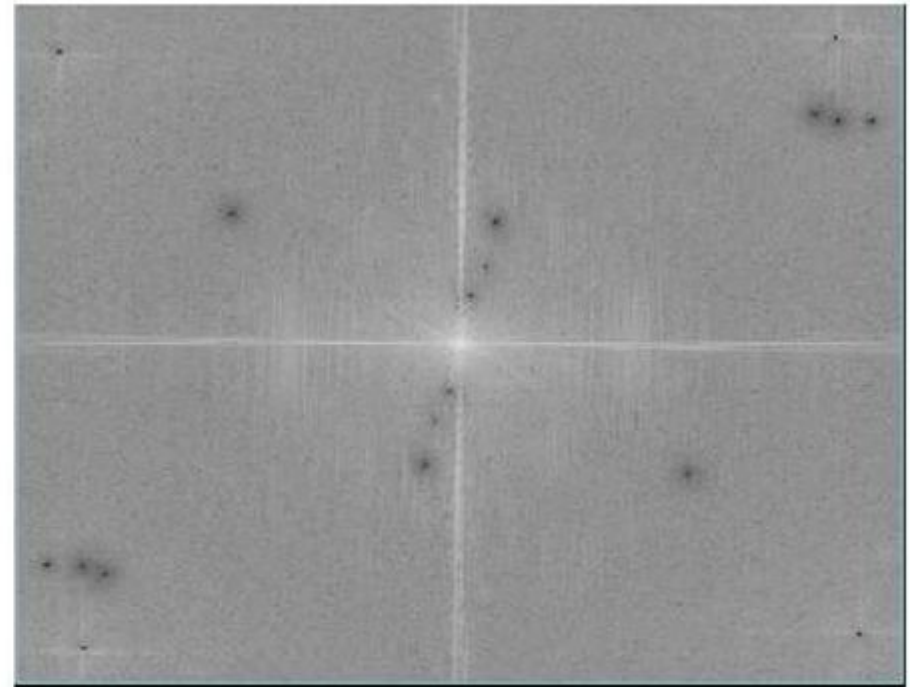


**Obrázok 1.53:** Detail.

# Filtrácia vybratých frekvenčných oblastí



**Obrázok 1.54:** Spektrum vstupného obrazu.

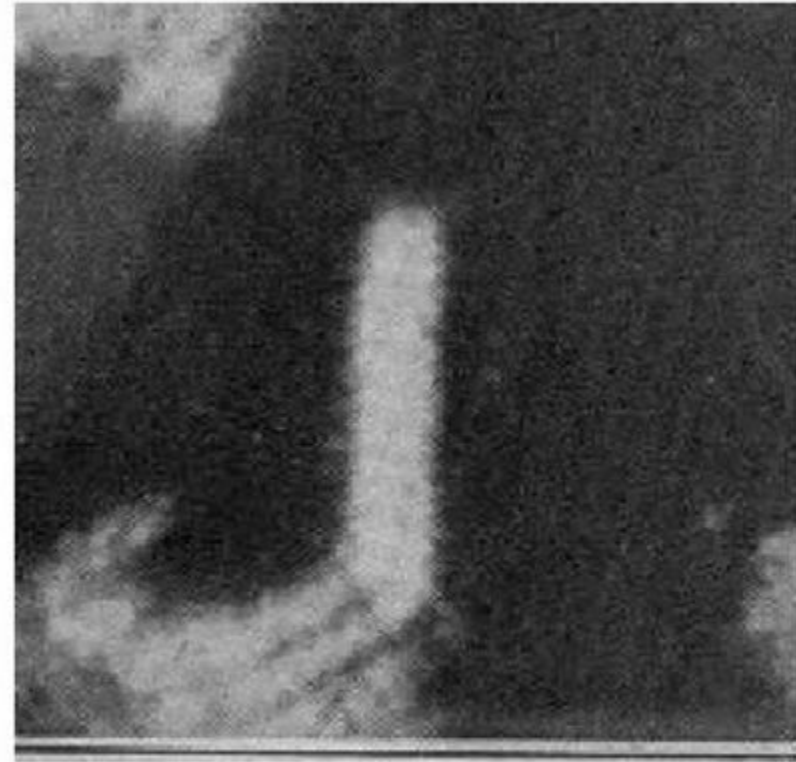


**Obrázok 1.55:** Selektívne filtrované spektrum.

# Filtrácia vybratých frekvenčných oblastí



**Obrázok 1.56:** Výstupný obraz.



**Obrázok 1.57:** Detail.

# Filtrácia vybratých frekvenčných oblastí -príklad

Vstupný obraz : použijeme jednu z prvých snímok, ktoré boli v digitalizovanej forme prenesené cez Atlantik v 20. rokoch minulého storočia.(Vid' obr. 1.52.)

Na ďalšom obrázku 1.54 je znázornené spektrum, v ktorom vidíme niekoľko lokálnych maxím. Tieto selektívne odstránime. Vybraté lokálne maximá takpovediac „vymažeme zo spektra násobením špeciálnym filtrom - viacnásobne použijeme Gaussov filter centrovaný na príslušné maximum. Takto filtrované spektrum vidíme na obrázku 1.55.

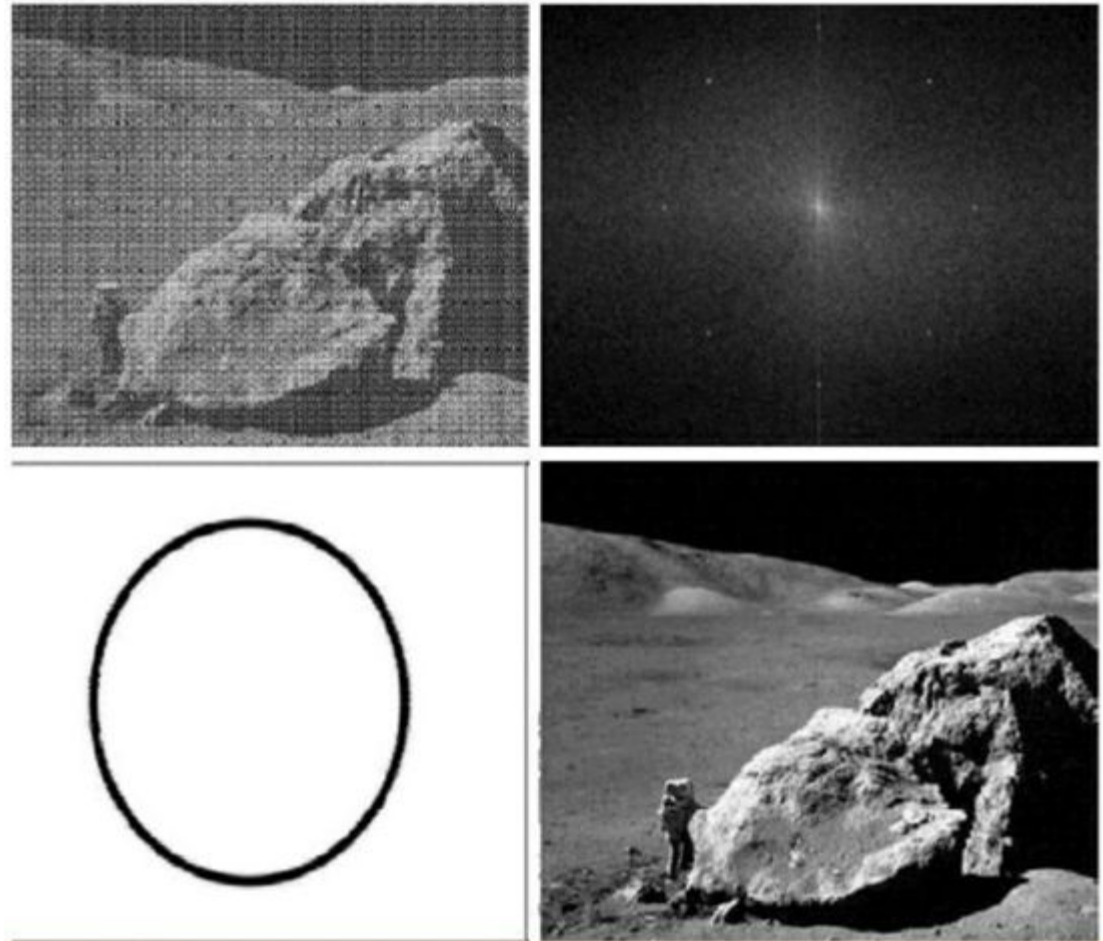
Po spätnej filtrácii získame obraz znázornený na obrázku 1.56.

Pri pohľade na vstupný a výstupný obraz vidíme, že periodické rušenie bolo touto filtráciou do značnej miery odstránené.



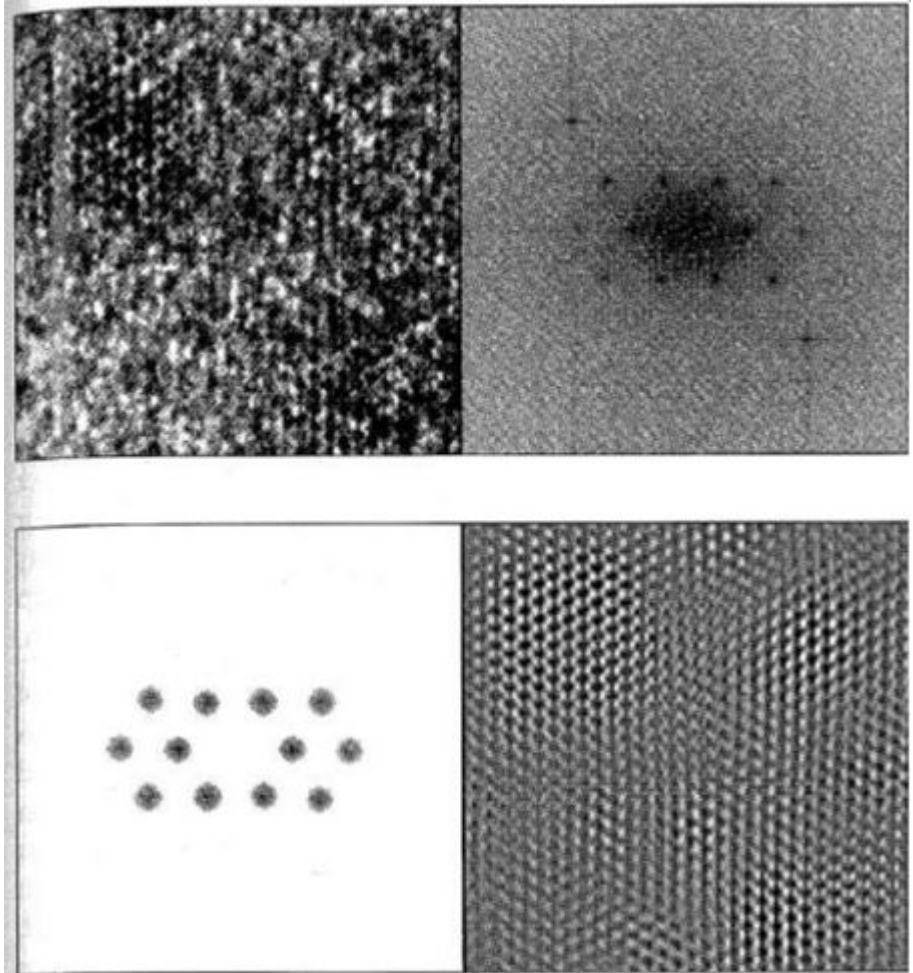
# Example of Filtering in the Fourier Domain

## Periodic noise & band reject filter



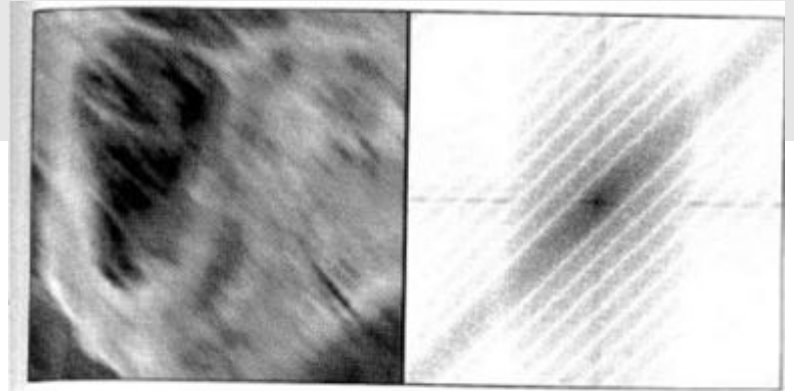
# Features of periodicity

Texture description

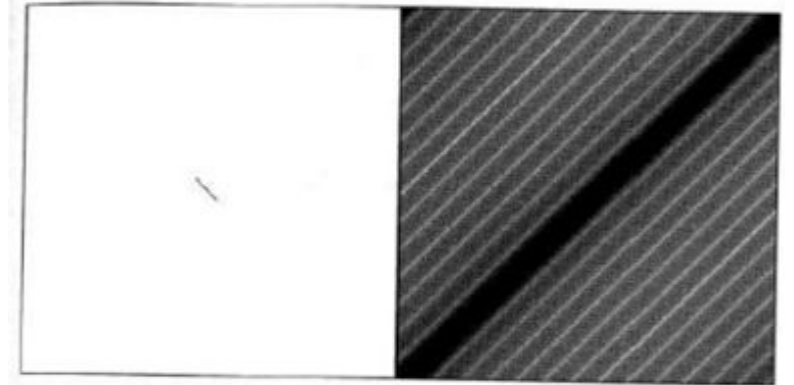


# Motion blur

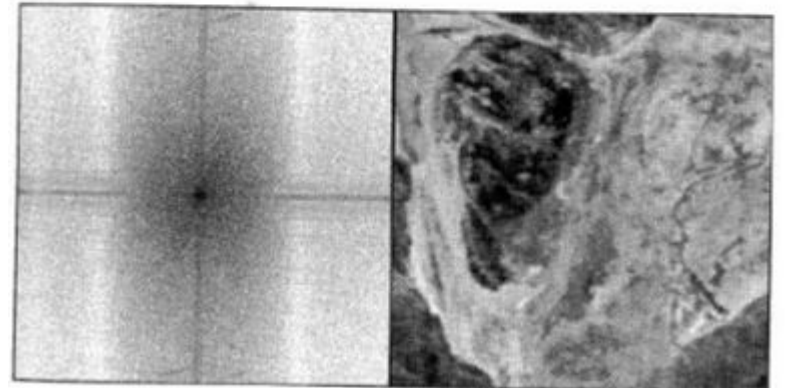
Motion blurred image



Estimation of motion



Inverse filtered image





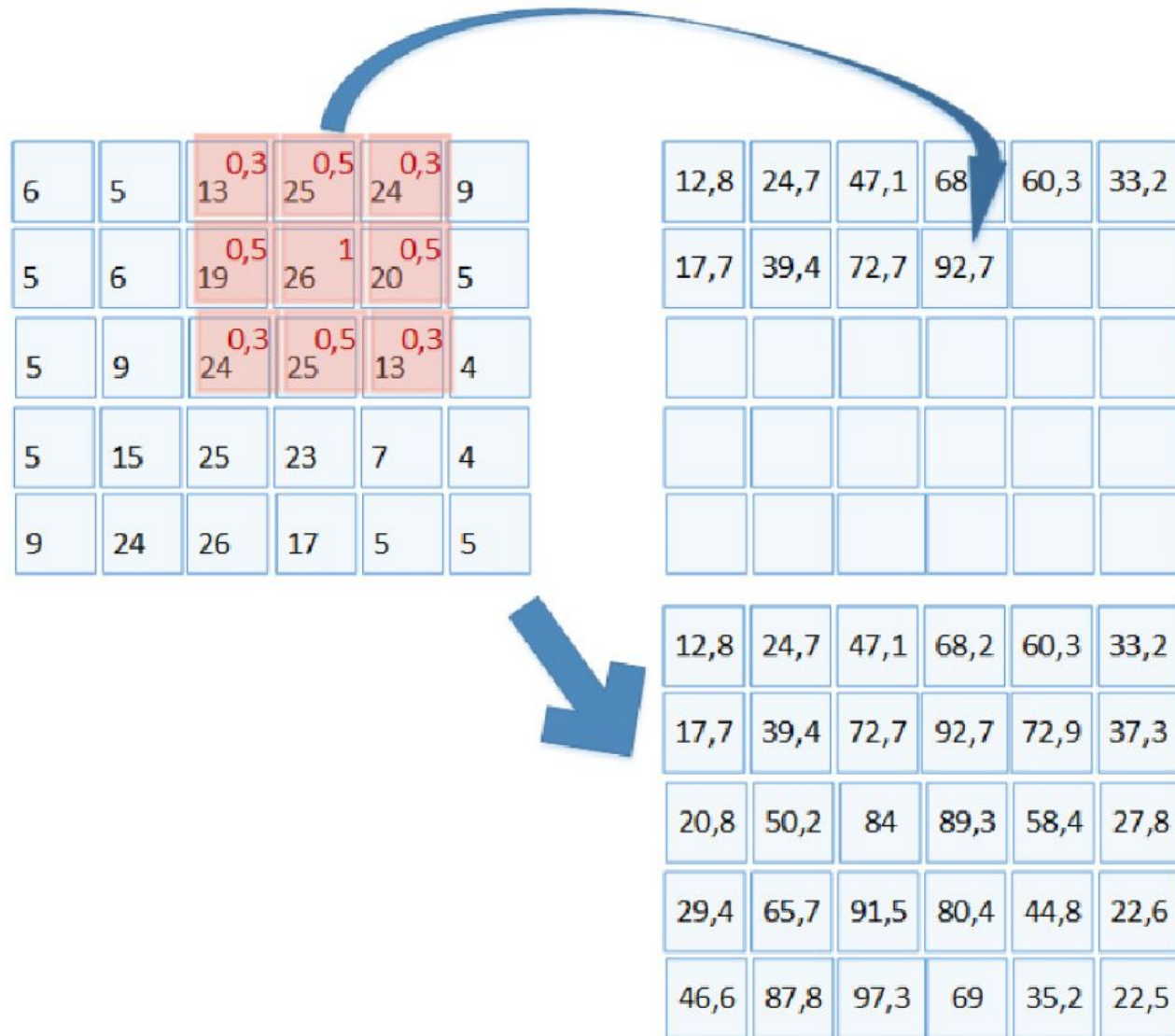
# Filtration in the spatial domain

# 2D convolution

The discrete convolution of two functions  $f(x, y)$  and  $h(x, y)$  of size  $M \times N$  is denoted by  $f(x, y) * h(x, y)$  and is defined by the expression:

$$f(x, y) * h(x, y) = \frac{1}{MN} \sum_{m=0}^{M-1} \sum_{n=0}^{N-1} f(m, n) h(x - m, y - n).$$

# Example of 2D Convolution



(a)  $f_{(2,4)} = 13 \cdot 0,3 + 25 \cdot 0,5 + 24 \cdot 0,3 + 19 \cdot 0,5 + 26 \cdot 1 + 20 \cdot 0,5 + 24 \cdot 0,3 + 25 \cdot 0,5 + 13 \cdot 0,3 = 92,7$

# Border Effects

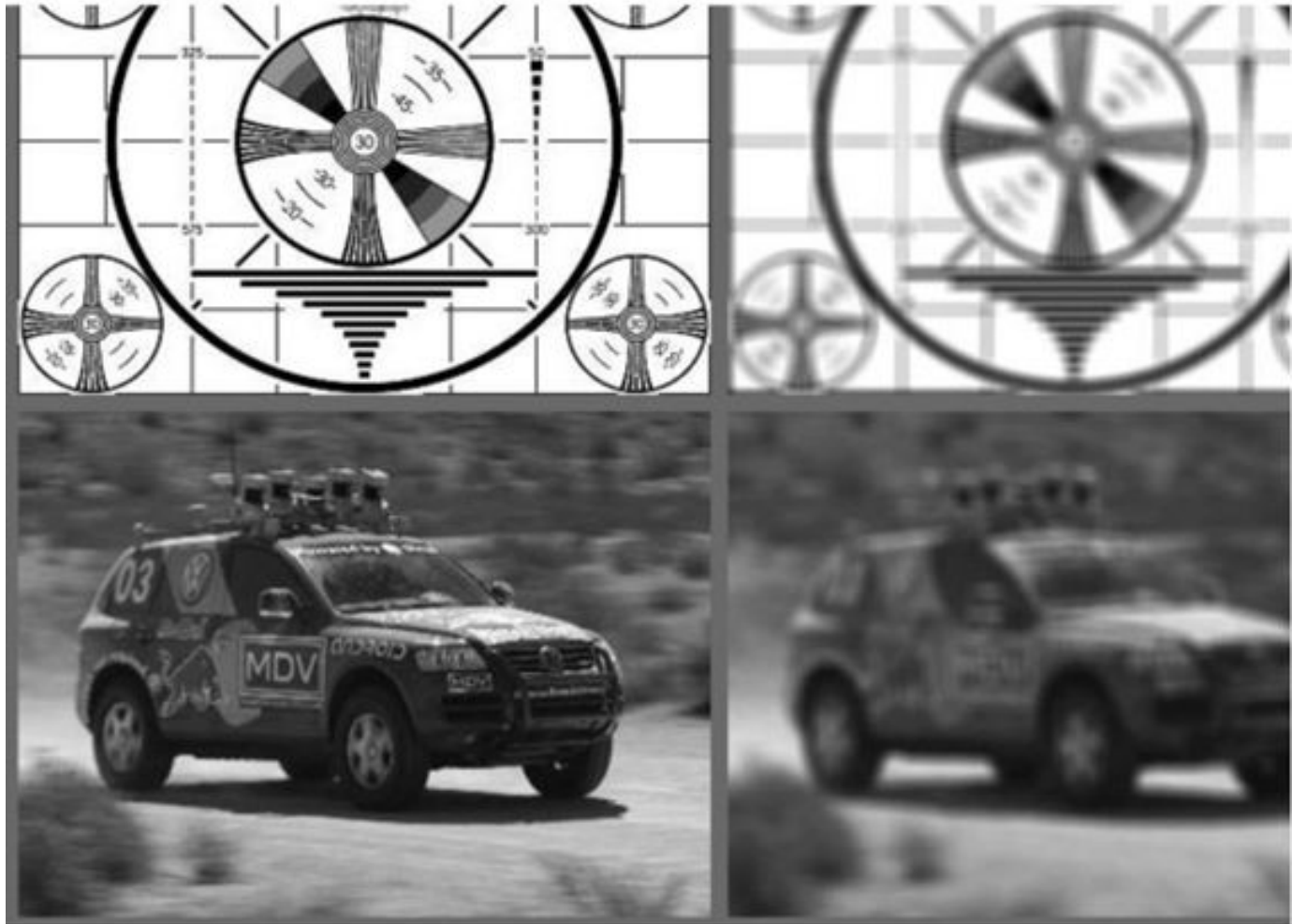
- **constant (border color)**: set all pixels outside the source image to a specified border value
- **mirror**: reflect pixels across the image edge
- **reduced size** of the output image

# Mean filter - LP (blur, smooth)

Convolution kernel 3x3:

|   |   |   |
|---|---|---|
| 1 | 1 | 1 |
| 1 | 1 | 1 |
| 1 | 1 | 1 |

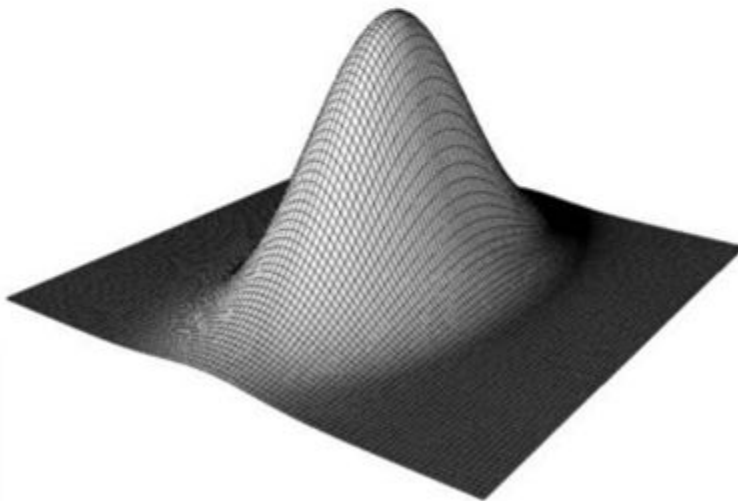
# Mean filter - example



# Gauss filter - LP (blur, smooth)

Gauss convolution kernel 5x5:

$$K_{\sigma}(x, y) := \frac{1}{2\pi\sigma^2} \cdot \exp\left(\frac{-x^2 - y^2}{2\sigma^2}\right)$$



$\frac{1}{273}$

|   |    |    |    |   |
|---|----|----|----|---|
| 1 | 4  | 7  | 4  | 1 |
| 4 | 16 | 26 | 16 | 4 |
| 7 | 26 | 41 | 26 | 7 |
| 4 | 16 | 26 | 16 | 4 |
| 1 | 4  | 7  | 4  | 1 |

# Gradient (Edge) filters - HP

## Sobel filter

Calculates the gradient of the image intensity (at each point)

$$G_y = \begin{bmatrix} +1 & +2 & +1 \\ 0 & 0 & 0 \\ -1 & -2 & -1 \end{bmatrix} * A \quad \text{and} \quad G_x = \begin{bmatrix} +1 & 0 & -1 \\ +2 & 0 & -2 \\ +1 & 0 & -1 \end{bmatrix} * A$$





# Gradient (Edge) filters

## Roberts, Laplace, Prewitt

Roberts

$$h_1 = \begin{bmatrix} 1 & 0 \\ 0 & -1 \end{bmatrix} \quad h_2 = \begin{bmatrix} 0 & 1 \\ -1 & 0 \end{bmatrix}$$

Laplace

$$h = \begin{bmatrix} 0 & 1 & 0 \\ 1 & -4 & 1 \\ 0 & 1 & 0 \end{bmatrix} \quad k = \begin{bmatrix} 1 & 1 & 1 \\ 1 & -8 & 1 \\ 1 & 1 & 1 \end{bmatrix}$$

Prewitt

$$h_1 = \begin{bmatrix} 1 & 1 & 1 \\ 0 & 0 & 0 \\ -1 & -1 & -1 \end{bmatrix} \quad h_2 = \begin{bmatrix} 0 & 1 & 1 \\ -1 & 0 & 1 \\ -1 & -1 & 0 \end{bmatrix} \quad h_3 = \begin{bmatrix} -1 & 0 & 1 \\ -1 & 0 & 1 \\ -1 & 0 & 1 \end{bmatrix} ..$$